

LHC-ALICE実験における

クォークジェット・グルーオンジェット識別の研究

横山広樹 for the ALICE Collaboration

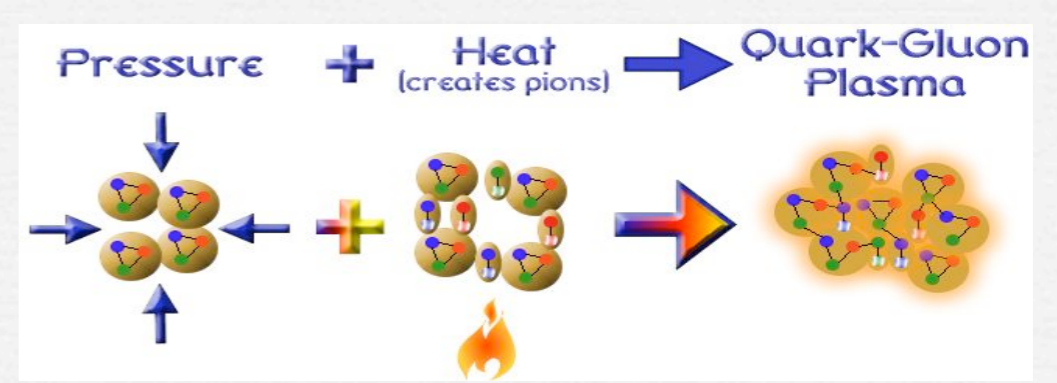
2010/03/20

日本物理学会第65回年次大会

Outline

- 導入
 - Quark Gluon Plasma(QGP) ,LHC-ALICE実験
 - ジェット抑制効果
 - 研究動機
- 解析方法
- 結果
 - Quark-JetとGluon-Jetの違い
 - Likelihood法を用いたQuark/Gluon-Jetの識別
- 結論

Quark Gluon Plasma(QGP)



- ☞ 宇宙の進化の過程(~数μ秒)
 - ☞ 高温高密度物質の膨張・冷却
 - ☞ パarton物質からハドロン物質への相転移
 - ☞ クォーク・グルーオンプラズマ(QGP)

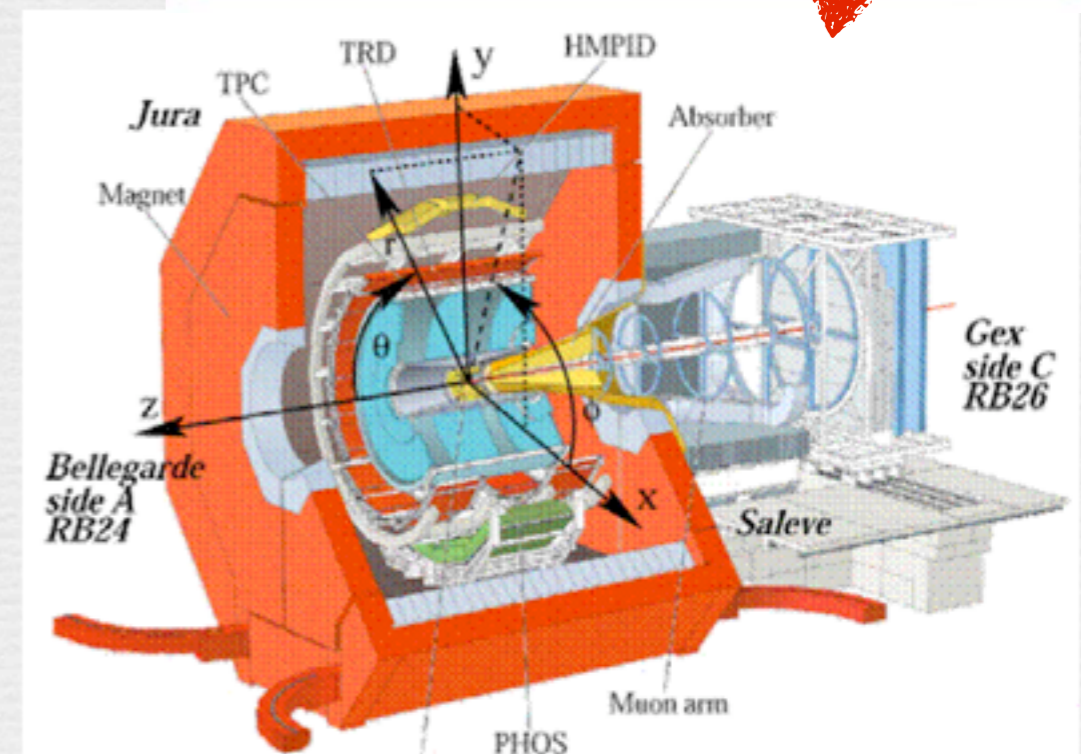
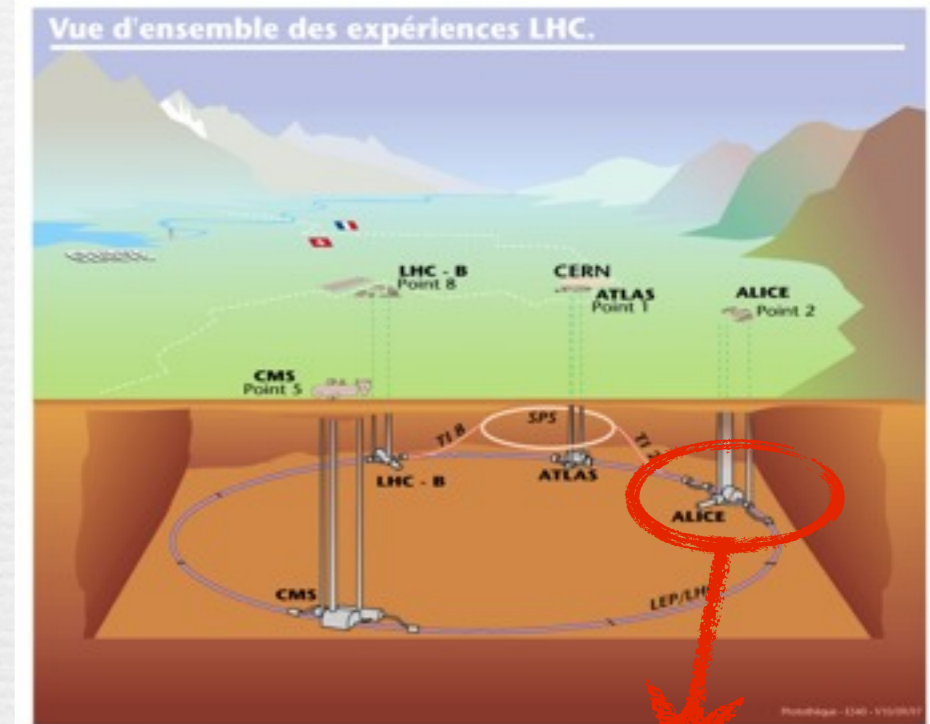
Lattice QCD

- ☞ $T_c \sim 150-170 \text{ MeV}$
- ☞ $\epsilon_c \sim 1 \text{ GeV/fm}^3$

高エネルギー重イオン衝突実験

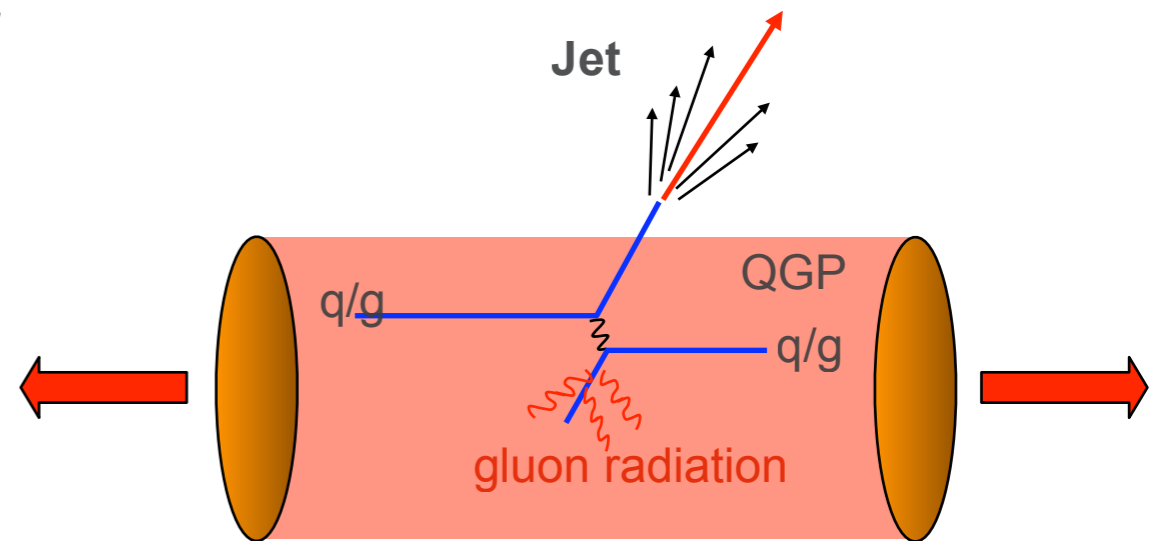
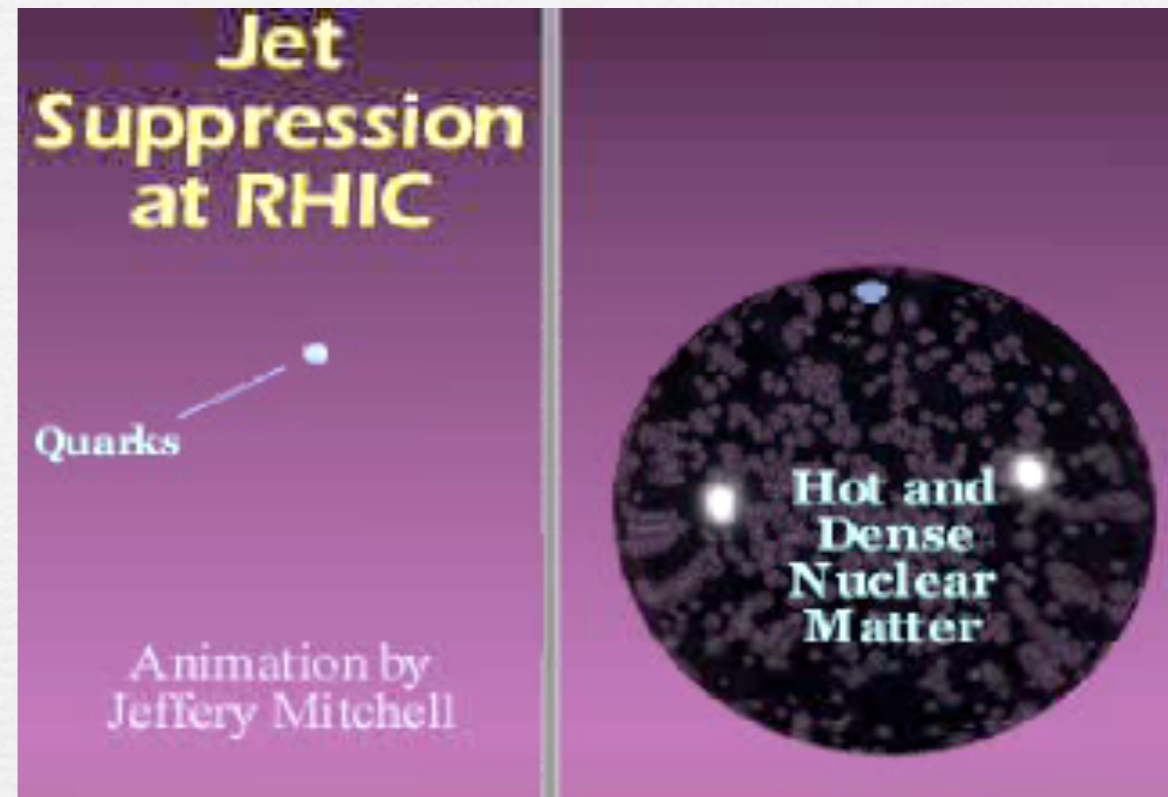
- ☞ 高温高エネルギー密度状態の再現
- ☞ LHC-ALICE 実験

- ☞ $\sqrt{s_{NN}} = 5.5 \text{ TeV Pb+Pb}$
- ☞ $\sqrt{s} = 14 \text{ TeV p+p}$



ジェット抑制効果

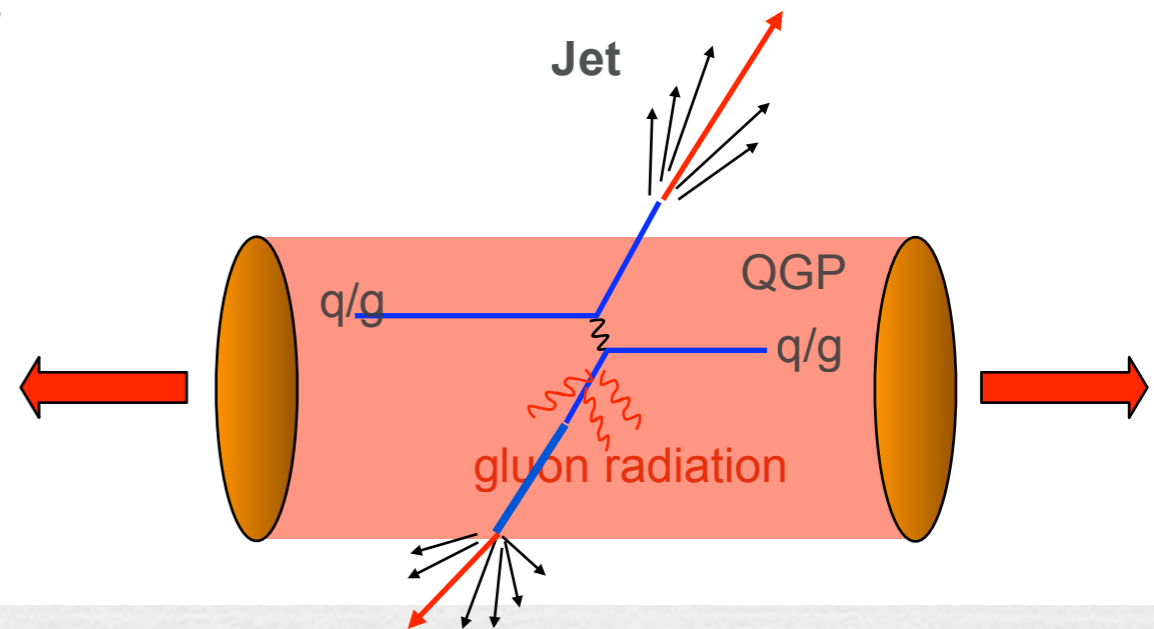
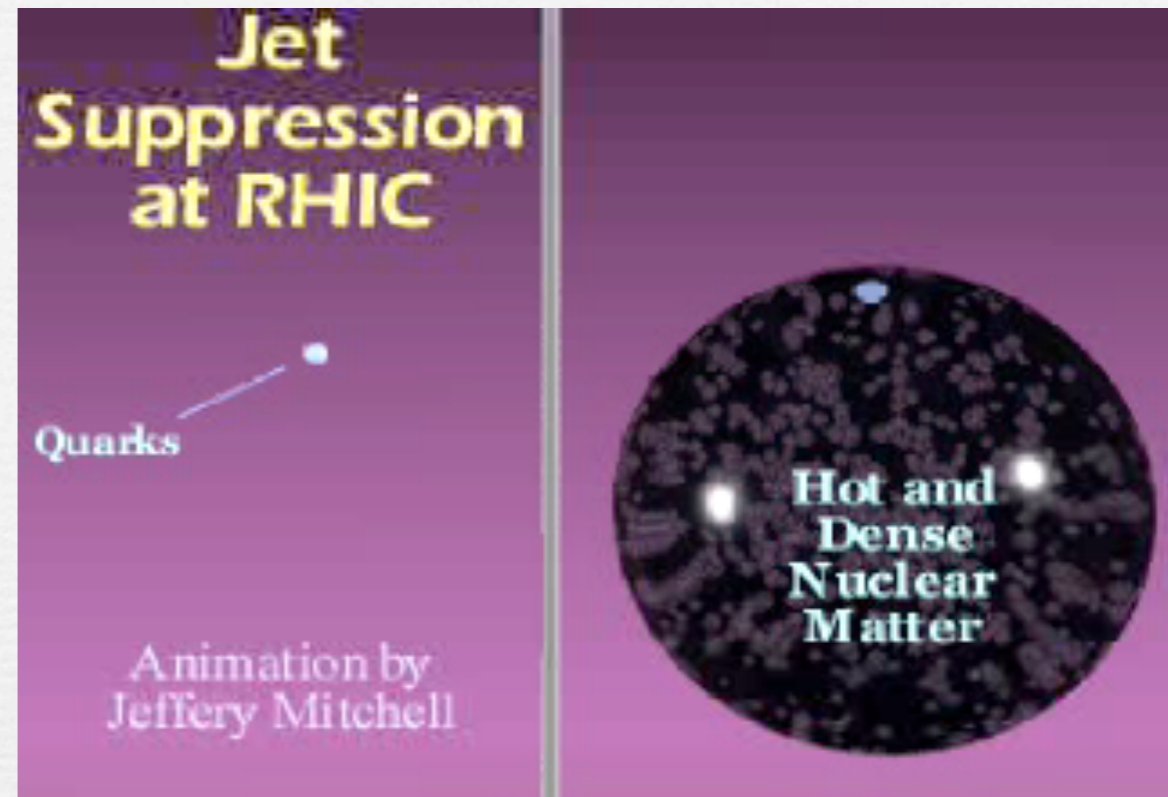
- QGP中でのパートンのエネルギー損失
- $\Delta\phi=\pi$ 方向のジェットの消失(RHIC)
- LHCでの予測
 - 世界最大の衝突エネルギー
 - 多数の高エネルギージェットの生成
 - $\sim 200\text{GeV}$ (Inclusive-Jets)
 - QGPを貫通



QGP中でのパートンのエネルギー損失機構の
理解のためにジェット事象は有効である

ジェット抑制効果

- QGP中でのパートンのエネルギー損失
- $\Delta\phi=\pi$ 方向のジェットの消失(RHIC)
- LHCでの予測
 - 世界最大の衝突エネルギー
 - 多数の高エネルギージェットの生成
 - $\sim 200\text{GeV}$ (Inclusive-Jets)
 - QGPを貫通



QGP中でのパートンのエネルギー損失機構の
理解のためにジェット事象は有効である

研究動機

- ◆ QGP中でのパートンのエネルギー損失機構の解明
 - ◆ パートンのエネルギー損失の測定
 - ◆ →Di-Jet, γ -Jet
 - ◆ **パートン種の推定**
- ◆ Parton-IDの可能性
 - ◆ **ジェット内粒子分布を用いたQuark/Gluon-Jet識別**
 - ◆ Likelihood法

シミュレーションを用いたQuark/Gluon-Jet識別の可能性の評価

Q-PYTHIA (AliRoot framework)

• PYTHIA + パートンのエネルギー損失

• 0-10% central AA collision

• BDMPS based energy loss

• $\langle \Delta E \rangle_{BDMPS} \propto \alpha_s C_R \langle \hat{q} \rangle L^2$

• \hat{q} [GeV²/fm] : transport coefficient(モデルパラメータ)

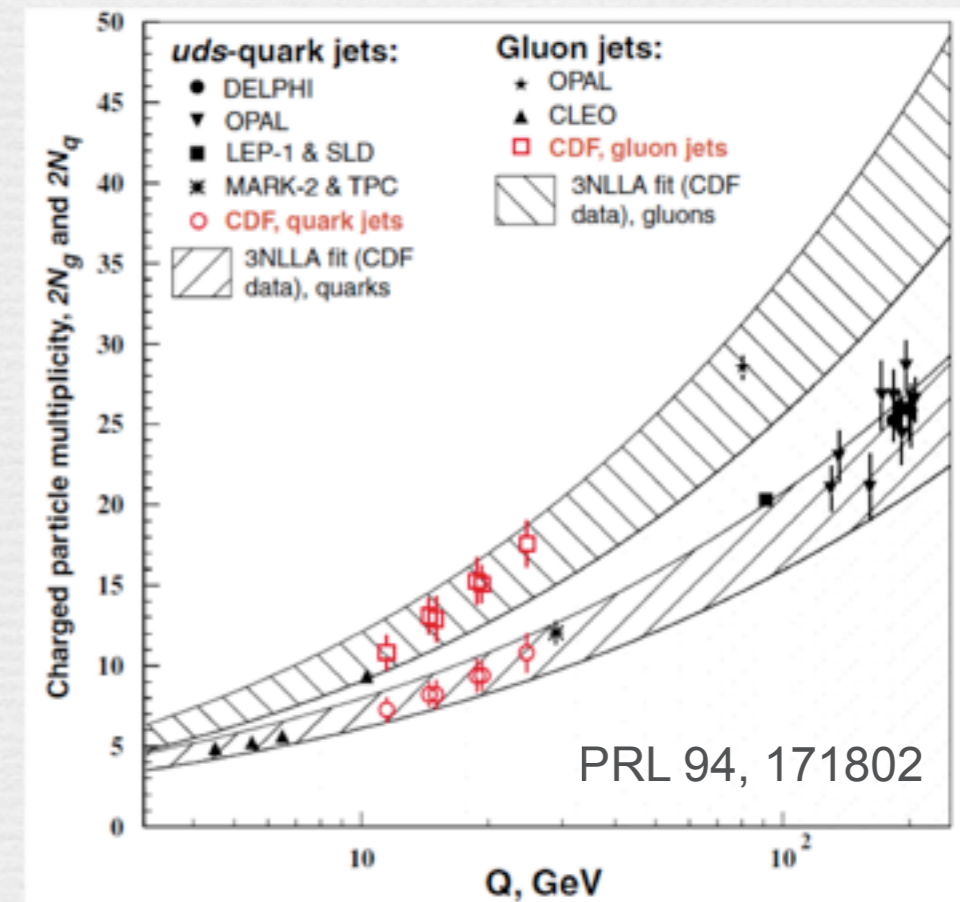
• L [fm] : パートンの通過距離

• $C_A=3$ (Gluon)

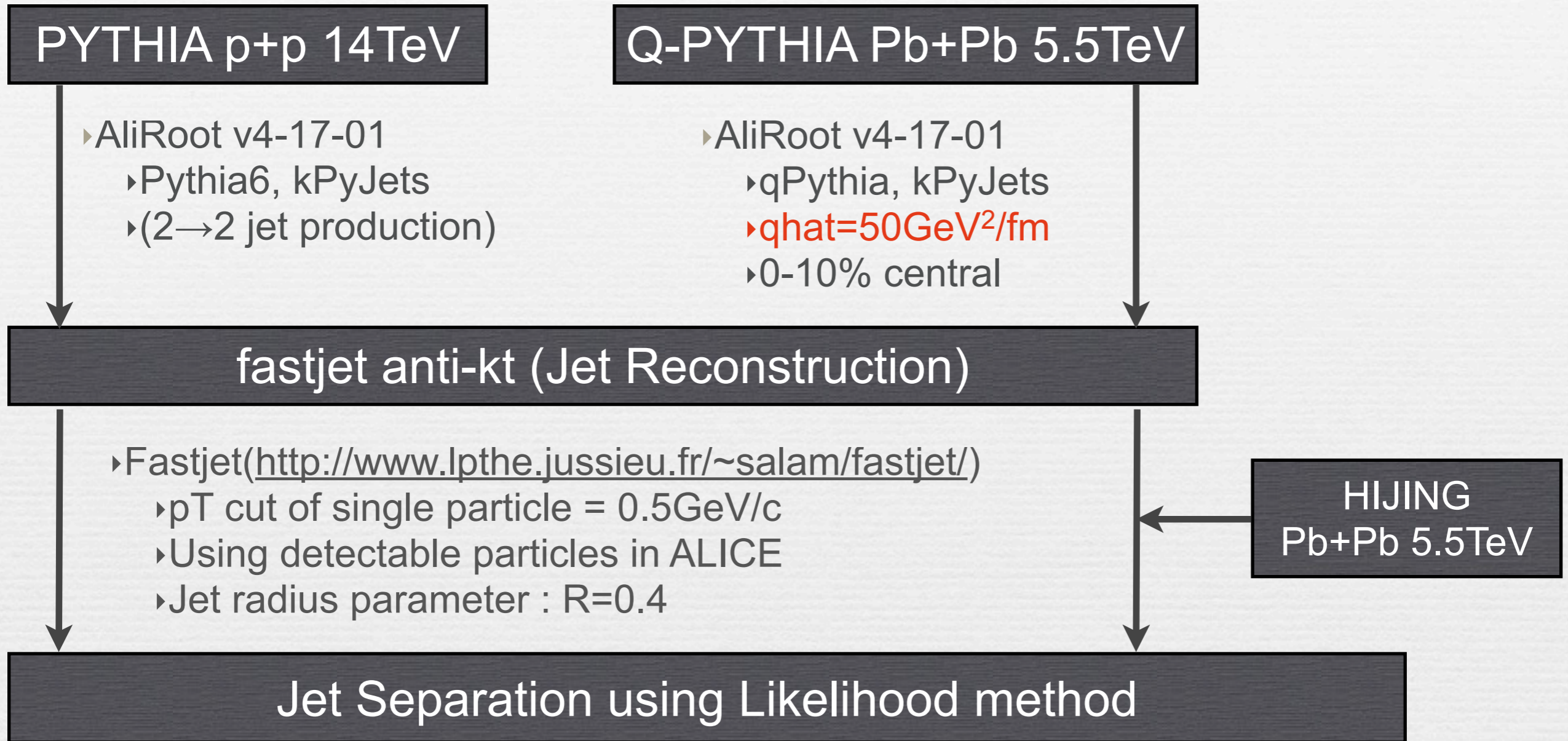
• $C_F=4/3$ (Quark)

• Quark/Gluon-Jetの違い(CDF)

• $N_g/N_q \sim 1.5$



Analysis Flow & Analysis Conditions



- ✓ Selection of Quark/Gluon-Jet sample
- ✓ The largest energy jet in $dR_{\text{parton}} < 0.5$
 - ✓ dR_{parton} : distance from initial parton
 - ✓ $dR_{\text{parton}} = \sqrt{(\eta_{\text{jet}} - \eta_{\text{parton}})^2 + (\phi_{\text{jet}} - \phi_{\text{parton}})^2}$

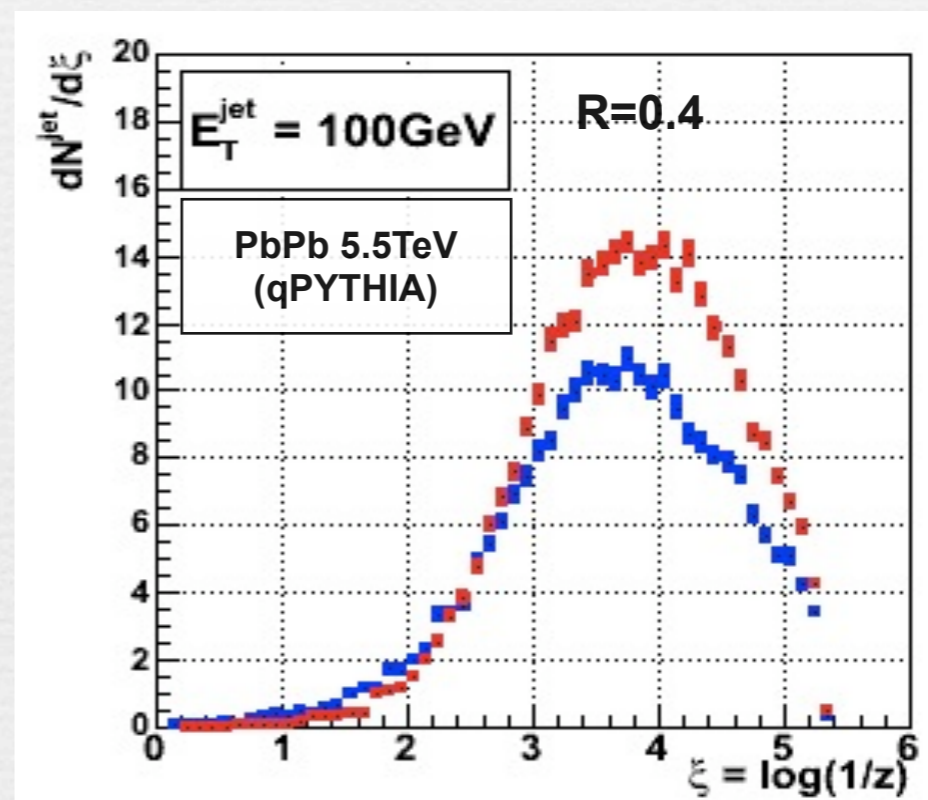
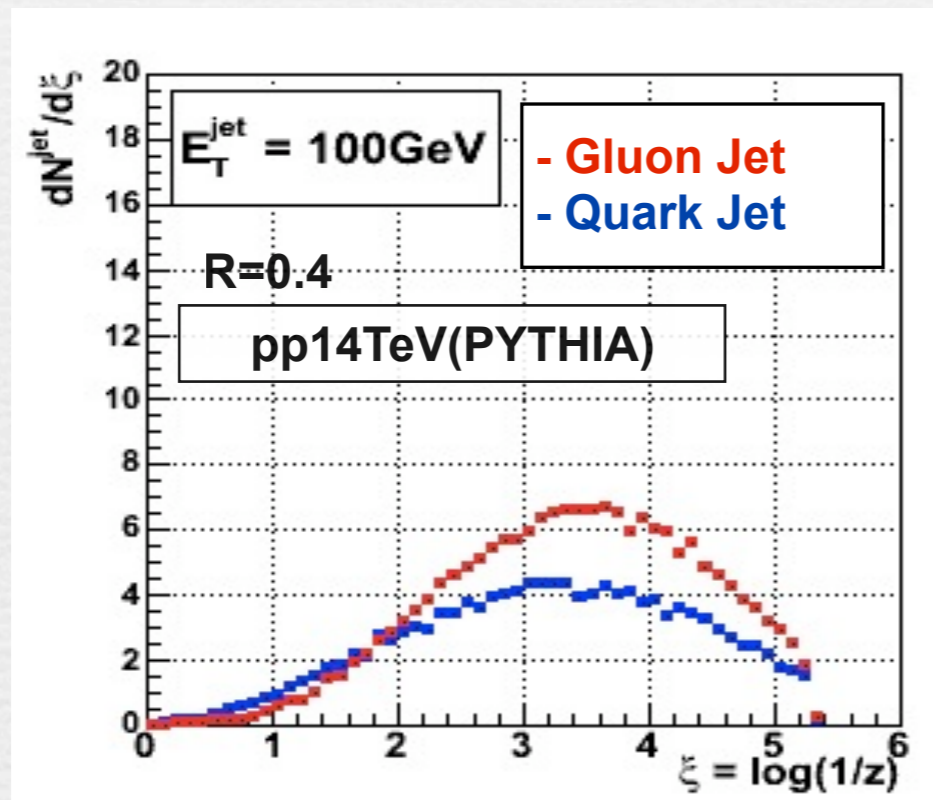
Quark-JetとGlunon-Jetの違い

$\xi@E_T=100\text{GeV}$	1	2	3	4	5
$p_T[\text{GeV}/c]$	36.8	13.5	5.0	1.8	0.7

破砕関数

- higher hump-back plateau
- Quenched-Jets
- Glunon-Jets

$$\xi = \log\left(\frac{1}{z}\right) = \log\left(\frac{E_T^{\text{jet}}}{p_T}\right)$$

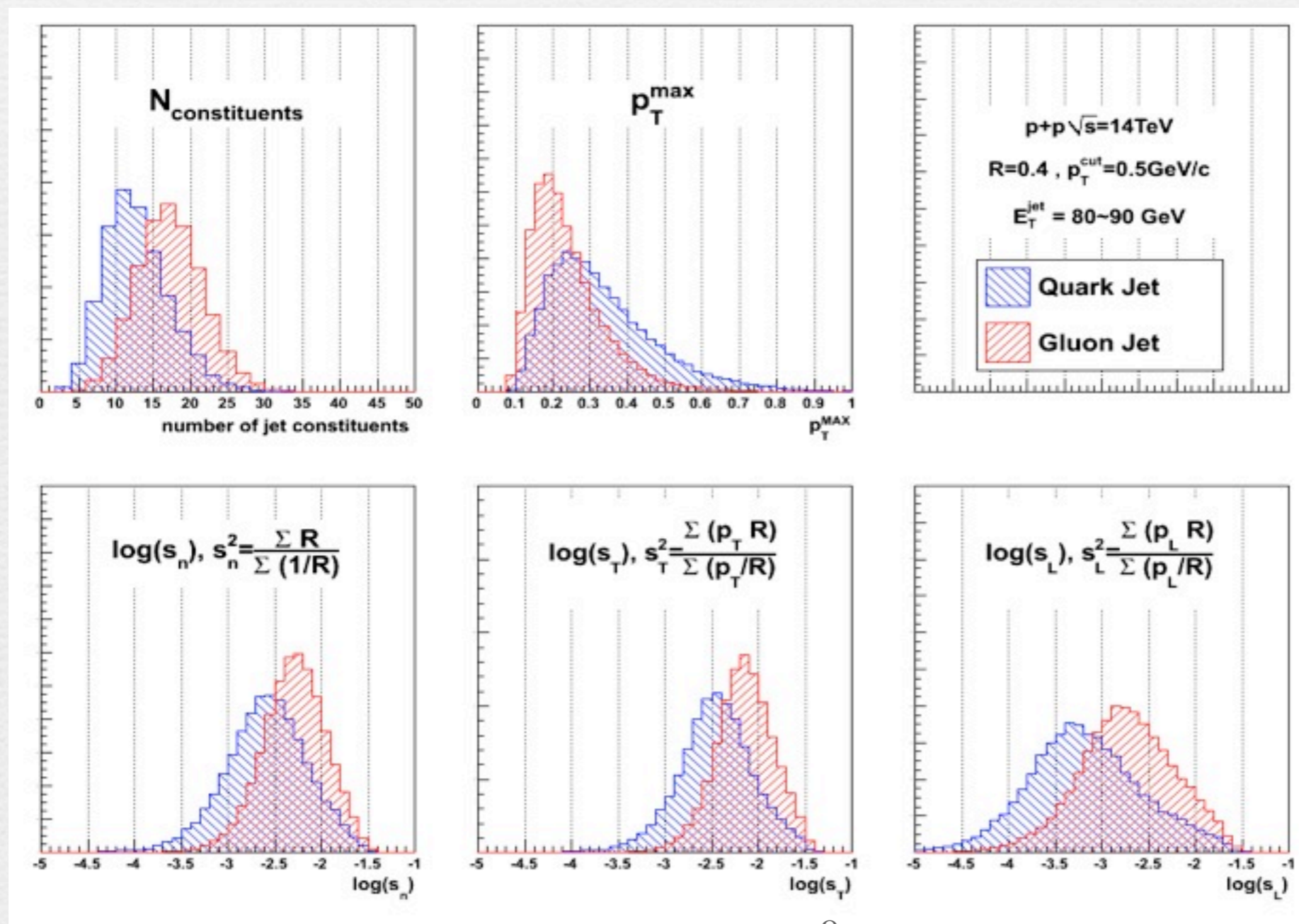


Glunon-JetはQuark-Jetに比べ

ジェット内の低(高)運動量粒子が多い(少ない)

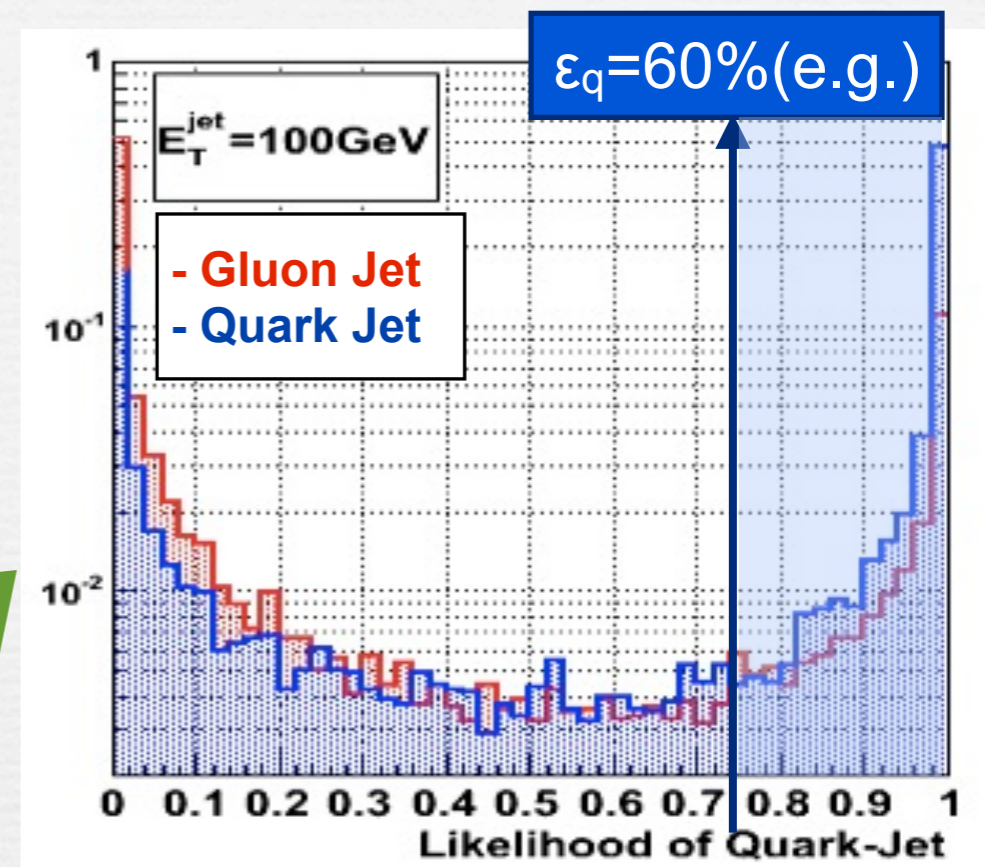
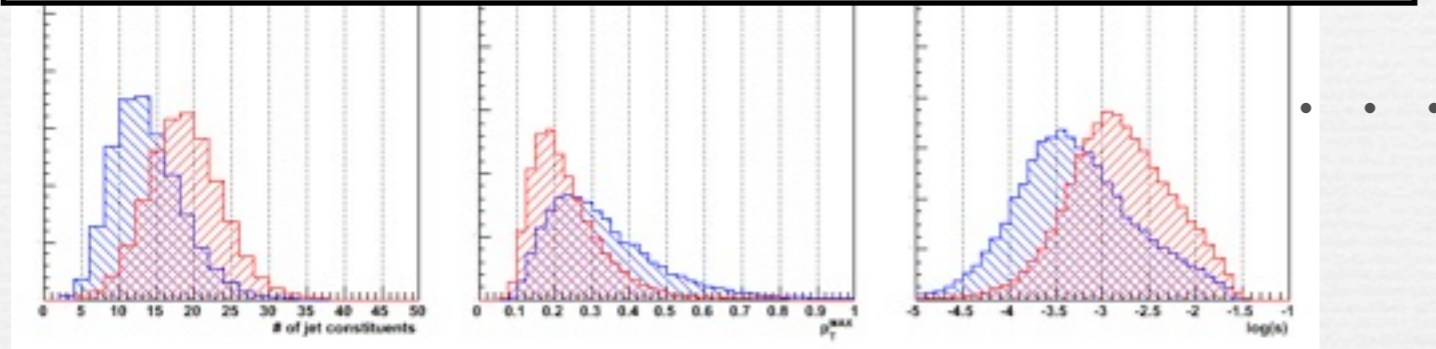
Quark-JetとGluon-Jetの違い

- Likelihood法で用いるパラメータ
 - ジェット内粒子数
 - 粒子の最大横運動量
 - ジェットの半径方向の広がり



Likelihood法 (quark-Jet trigger)

$P_{quark}^{(i)}, P_{gluon}^{(i)}$: probability of i th parameter



$$likelihood = \frac{P_{quark}}{P_{quark} + P_{gluon}}$$

$$P_{quark} = \prod_{i=1}^N P_{quark}^{(i)}$$

$$P_{gluon} = \prod_{i=1}^N P_{gluon}^{(i)}$$

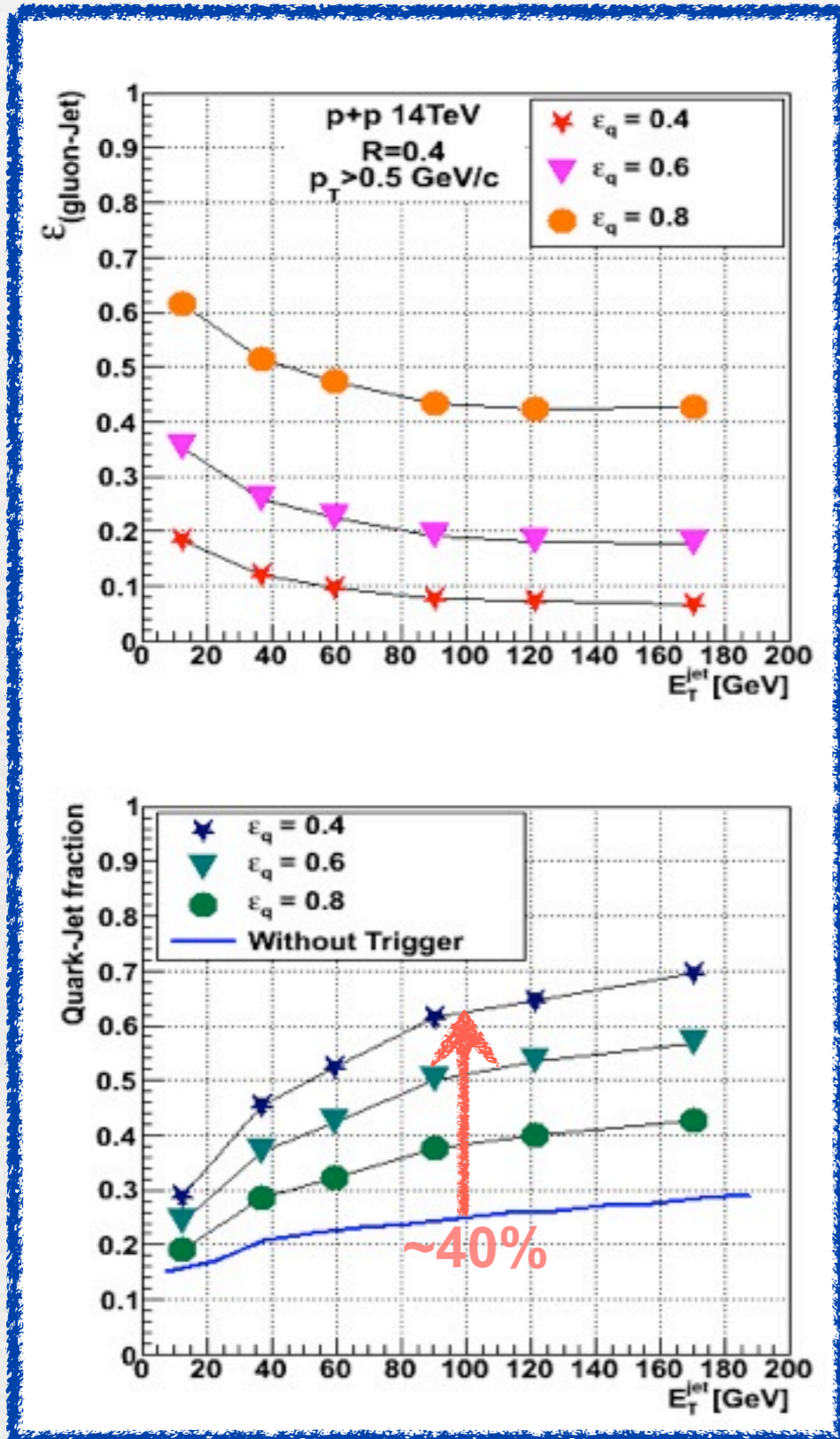
$$\epsilon_{quark} = \int_{L_{\epsilon_{quark}}}^1 \frac{1}{N_{quark}} \frac{dN_{quark}}{dL} dL$$

$$\epsilon_{gluon} = \int_{L_{\epsilon_{quark}}}^1 \frac{1}{N_{gluon}} \frac{dN_{gluon}}{dL} dL$$

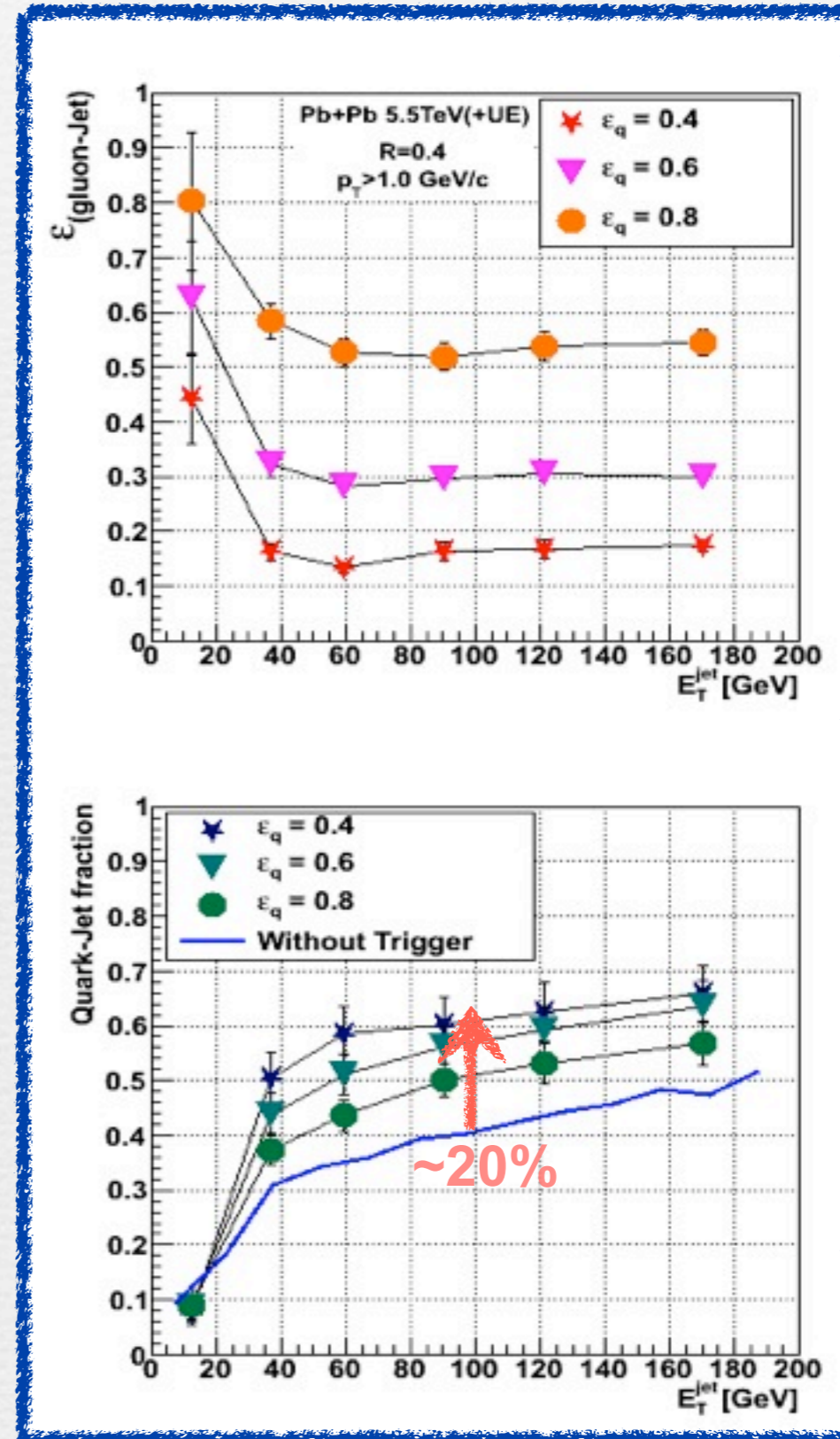
- ☞ Gluon-Jet誤識別能率
- ☞ → Quark/Gluon-Jet識別の強さ

Quark/Gluon-Jetsの識別

p+p $\sqrt{s}=14\text{TeV}$ (Pythia)

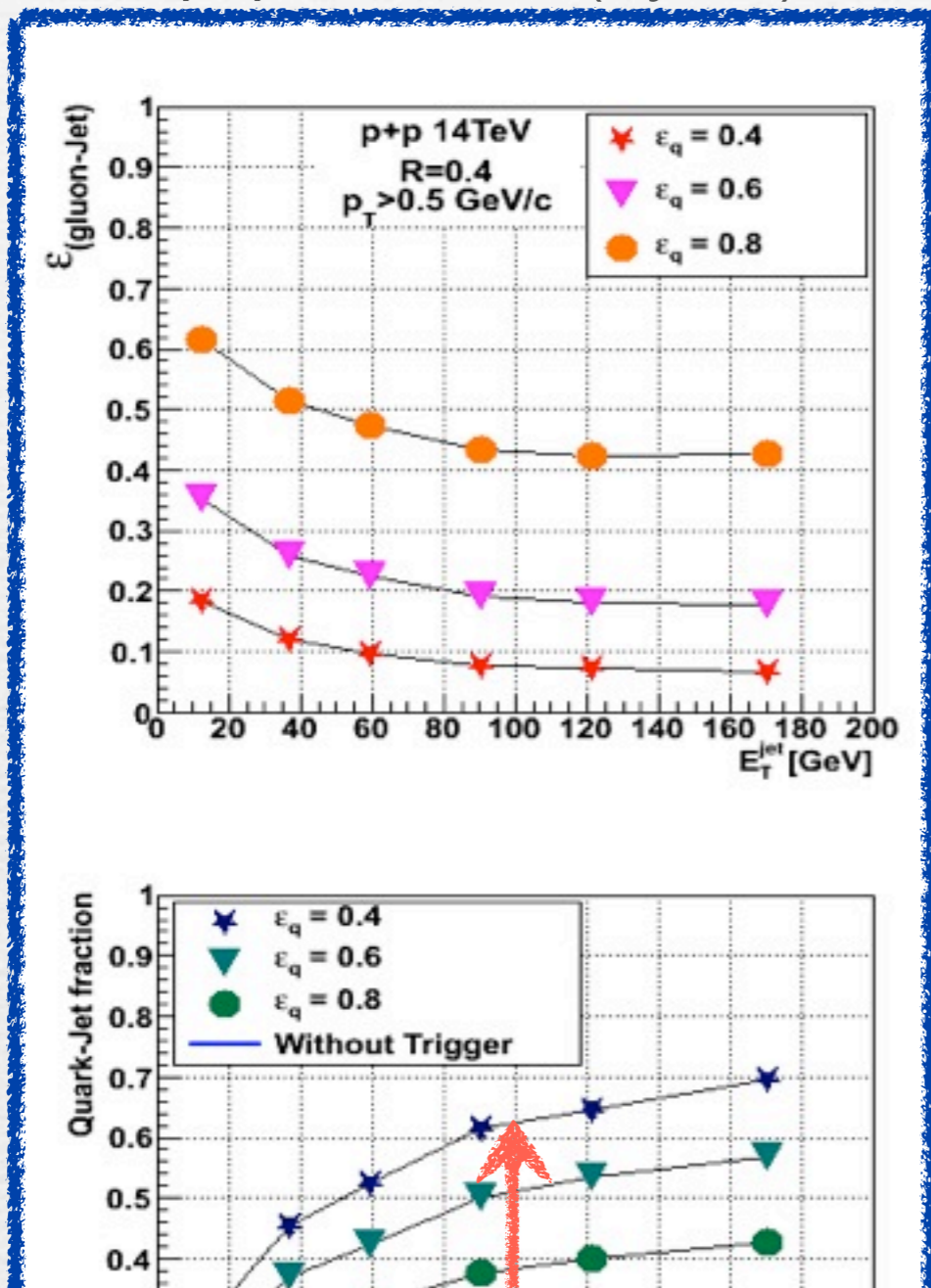


Pb+Pb $\sqrt{s_{NN}}=5.5\text{TeV}$ (qPythia+HIJING)

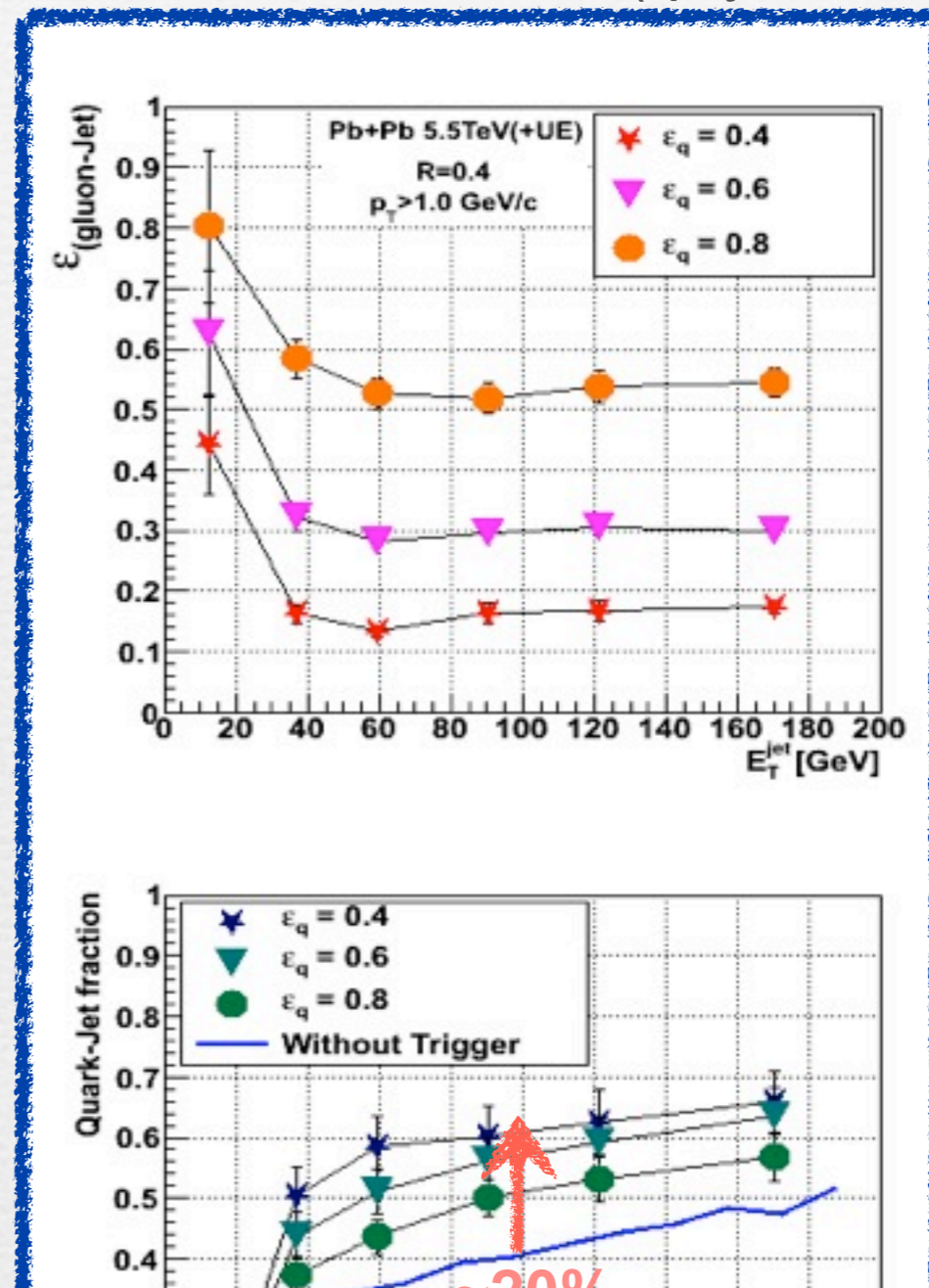


Quark/Gluon-Jetsの識別

p+p $\sqrt{s}=14\text{TeV}$ (Pythia)



Pb+Pb $\sqrt{s_{NN}}=5.5\text{TeV}$ (qPythia+HIJING)



識別後のジェット内のQuark-Jetの割合は ϵ_q によって変化する

まとめと今後

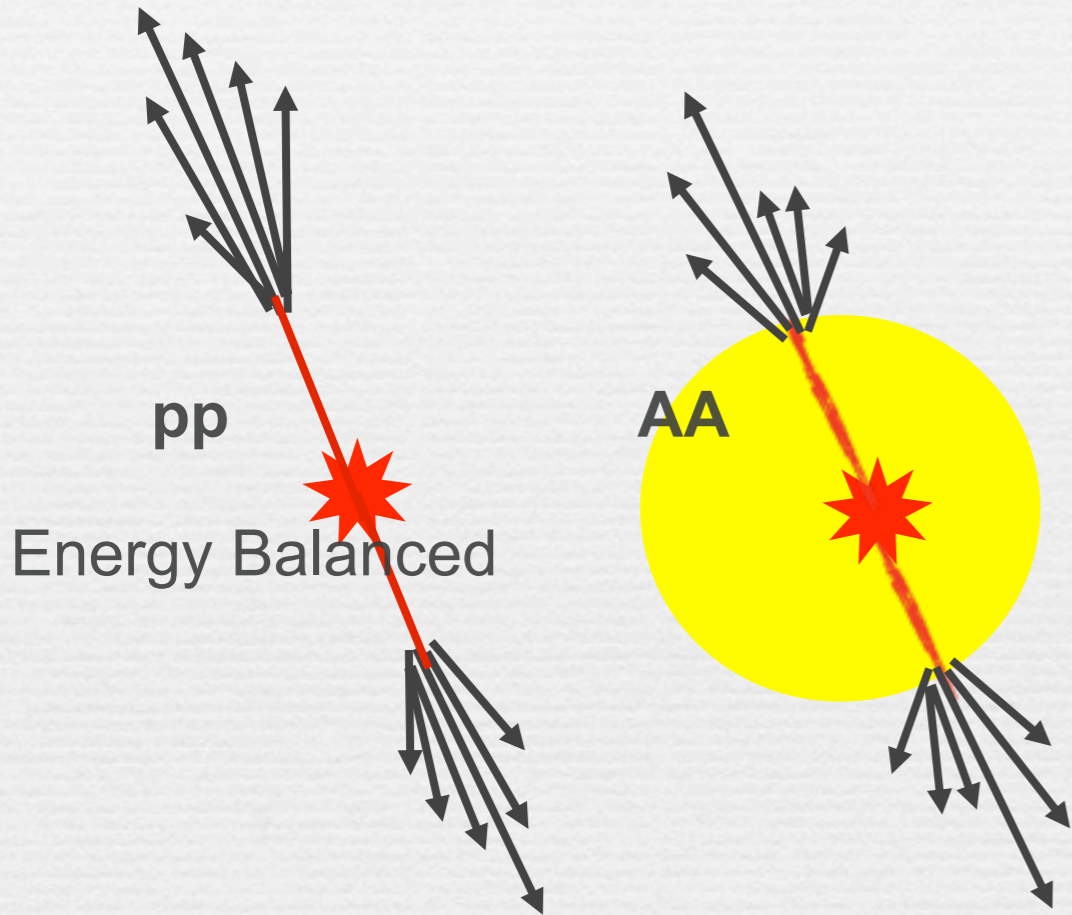
- ◆ **まとめ:**
 - ◆ Likelihood法を用いたQuark/Gluon-Jet識別
 - ◆ Quark-Jet識別効率によって識別されたジェット内のQuark-Jetの割合を変化させることが可能
 - ◆ $\epsilon_{\text{quark}}: 1.0 \rightarrow 0.4$ $\text{frac}_{\text{quark}}: \sim 40\%$ effect (p+p 14TeV)
 - ◆ $\epsilon_{\text{quark}}: 1.0 \rightarrow 0.4$ $\text{frac}_{\text{quark}}: \sim 20\%$ effect (Pb+Pb 5.5TeV)
- ◆ **今後:**
 - ◆ Likelihood法で用いるパラメータの重み付け
 - ◆ NN法を用いたQuark/Gluon-Jet識別可能性の評価

backup

Di-Jet, γ -Jet

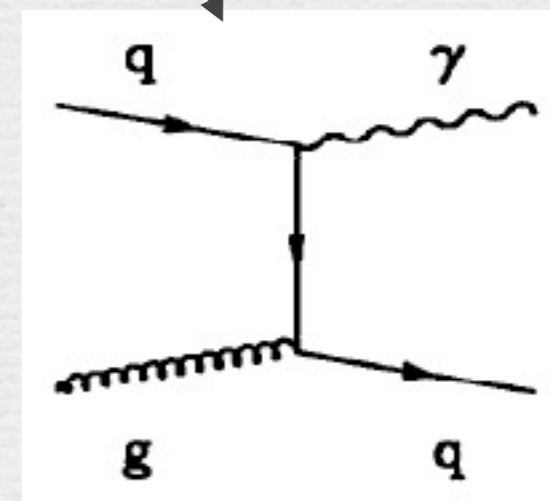
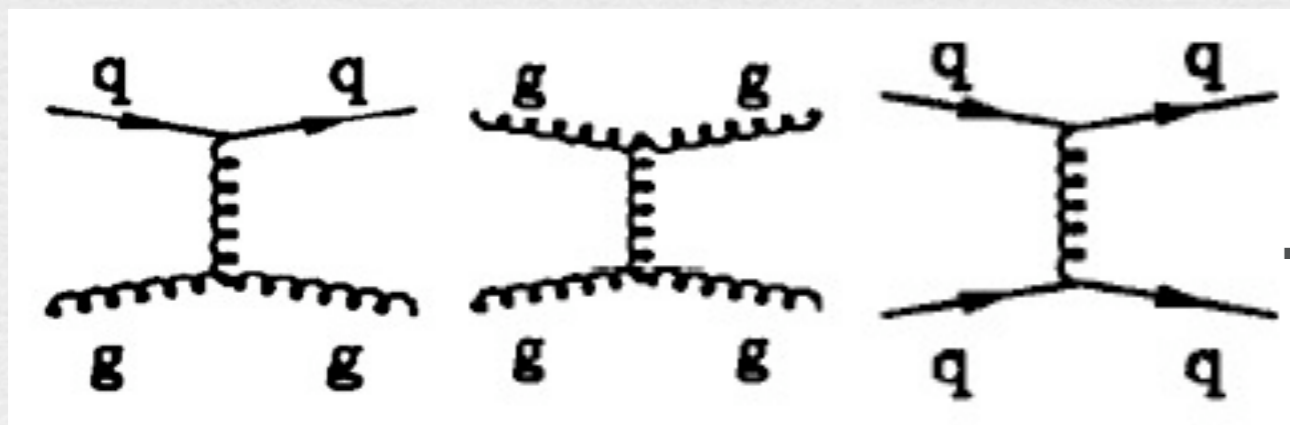
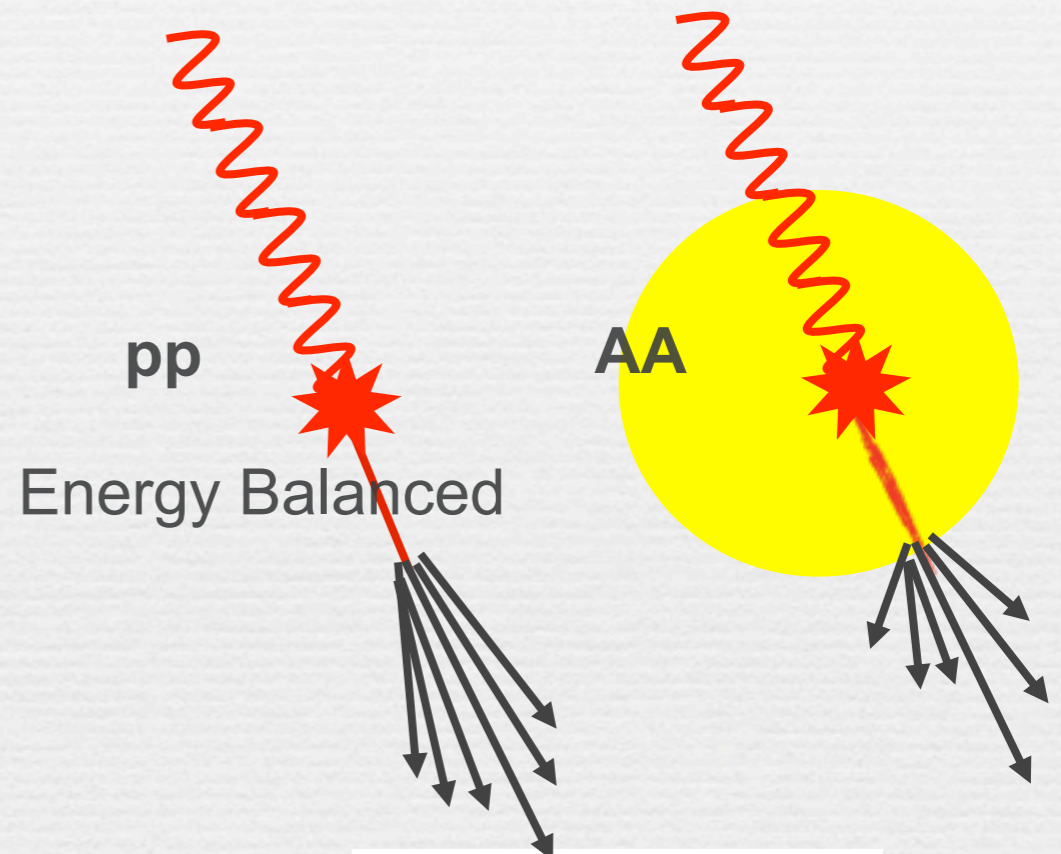
Di-Jets

- parton pair



γ -Jets

- compton
- γ -parton pair



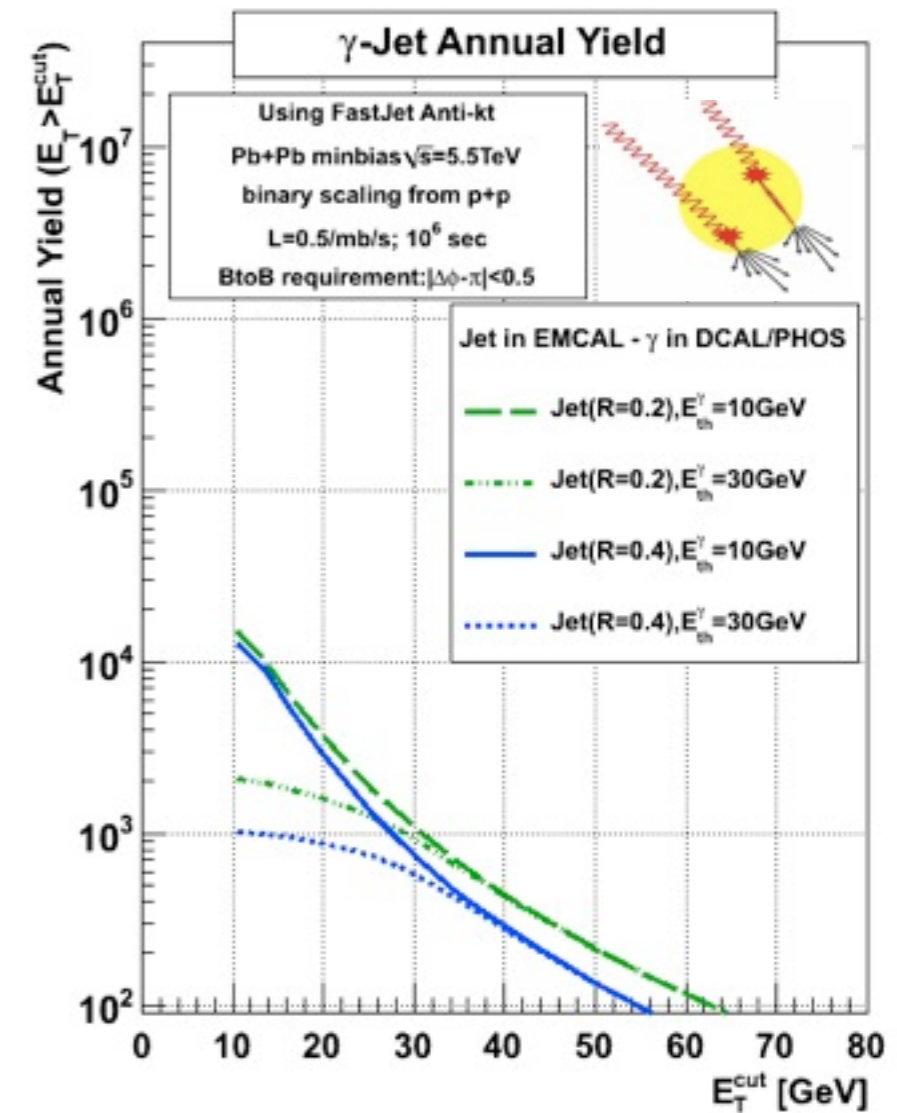
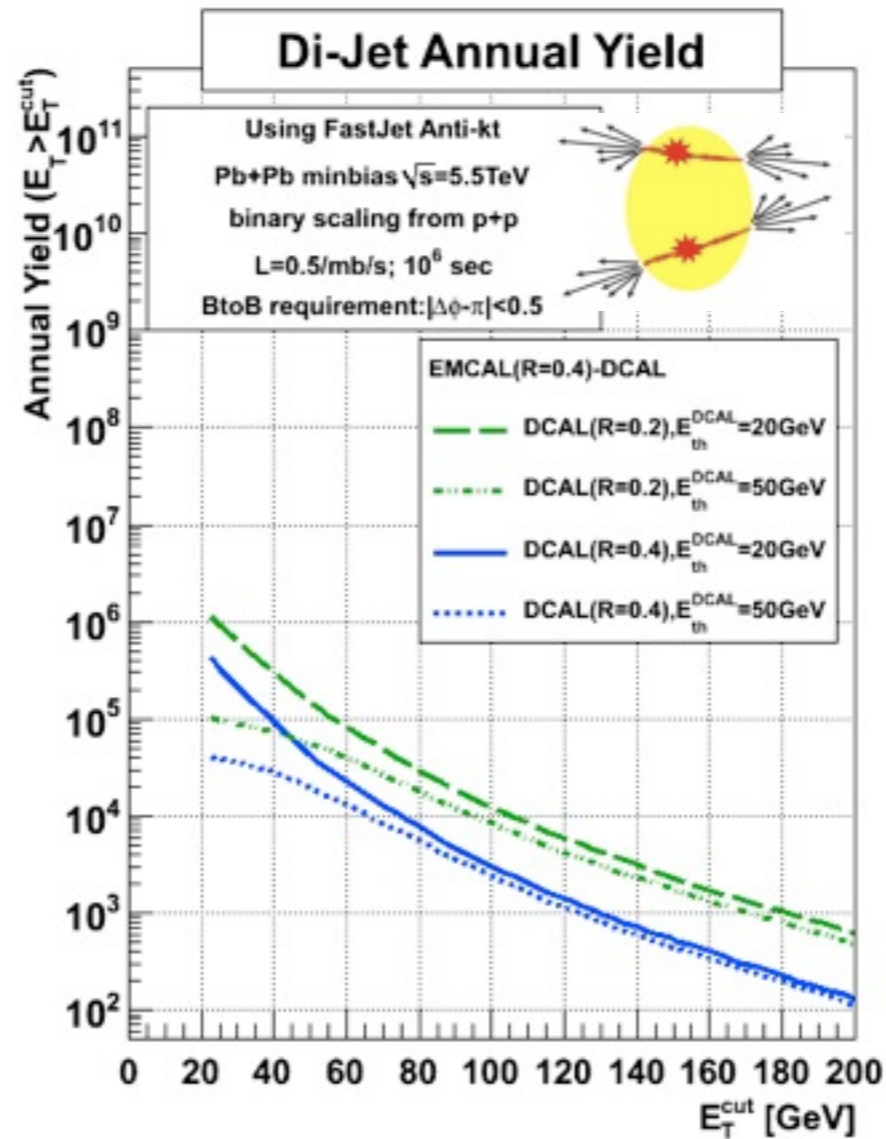
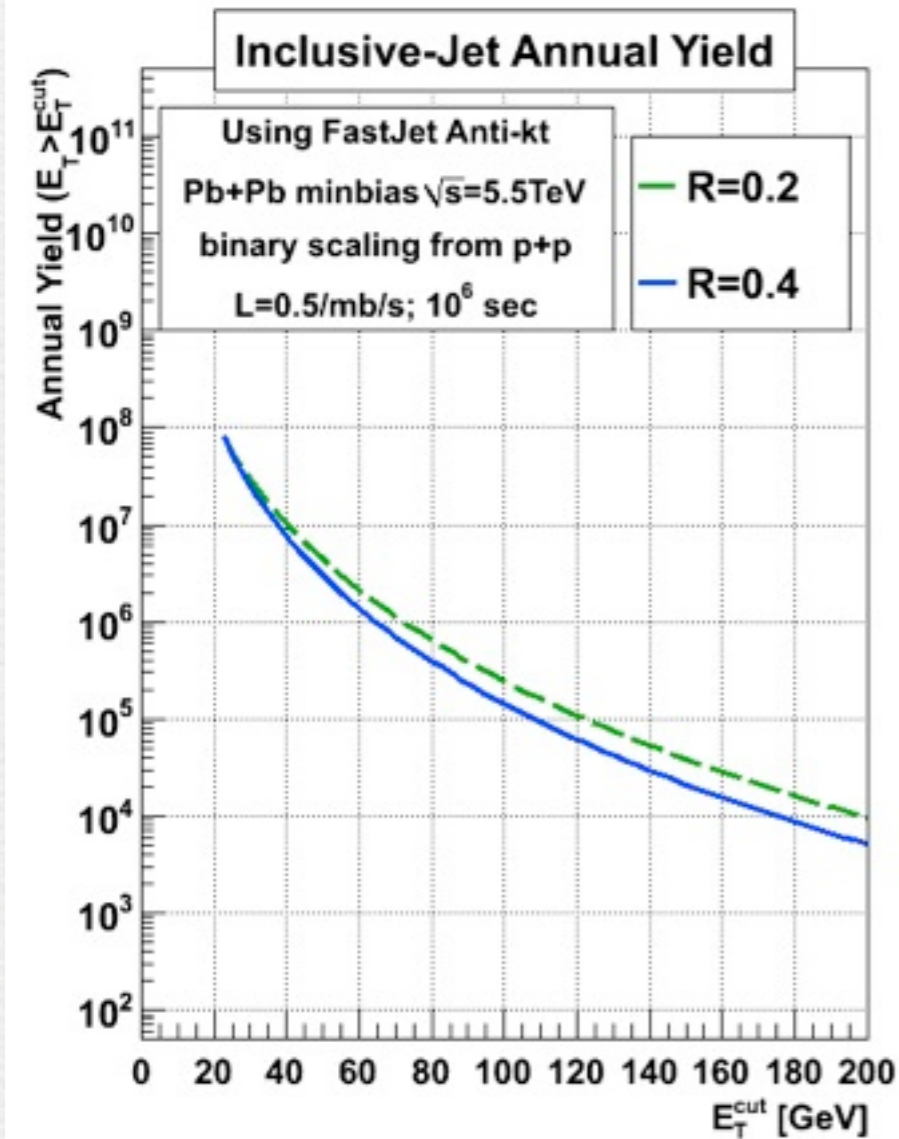
Reach of Jet Energy at ALICE

Inclusive-Jet, Di-Jet, γ -Jet Annual Yield at ALICE

10^4 events/year for Jet Analysis

Inclusive-Jet : ~ 200 GeV

Di-Jet : ~ 100 GeV



fastjet anti-kt algorithm

* FastJet-anti-kt algorithm

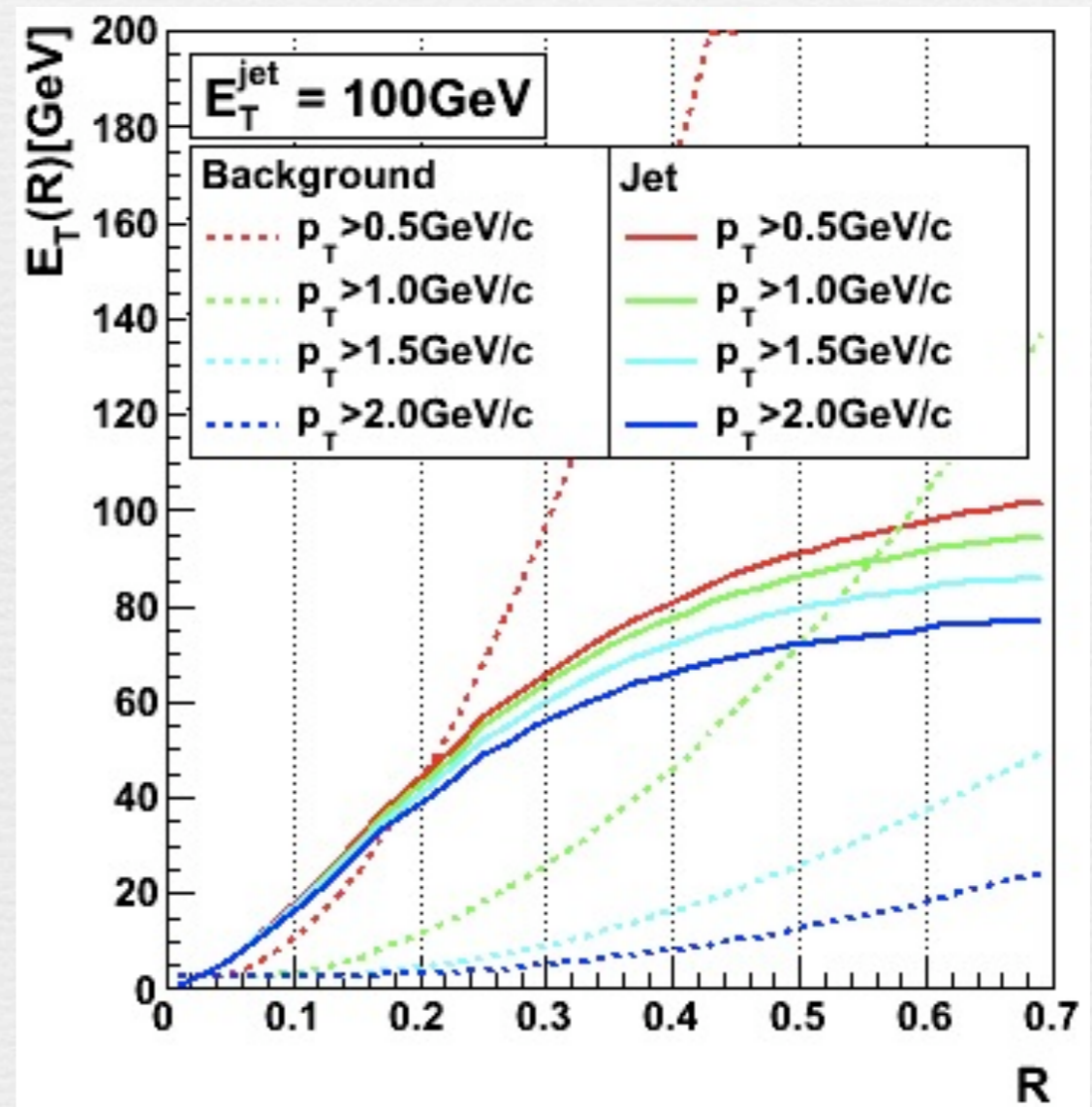
* (<http://www.lpthe.jussieu.fr/~salam/fastjet/>)

1. calculate d_{ij} and d_{iB} by all particles combination
2. when minimum “d” among them is part of d_{ij}
 - ▶ merge particle “i” and “j”
3. when minimum “d” among them is part of d_{iB}
 - ▶ that cluster defined as jet
4. repeat until no particle are left

$$d_{ij} = \min(1/k_{ti}^2, 1/k_{tj}^2) \Delta R_{ij}^2 / R^2 ,$$
$$d_{iB} = 1/k_{ti}^2 .$$

Heavy Ion Background

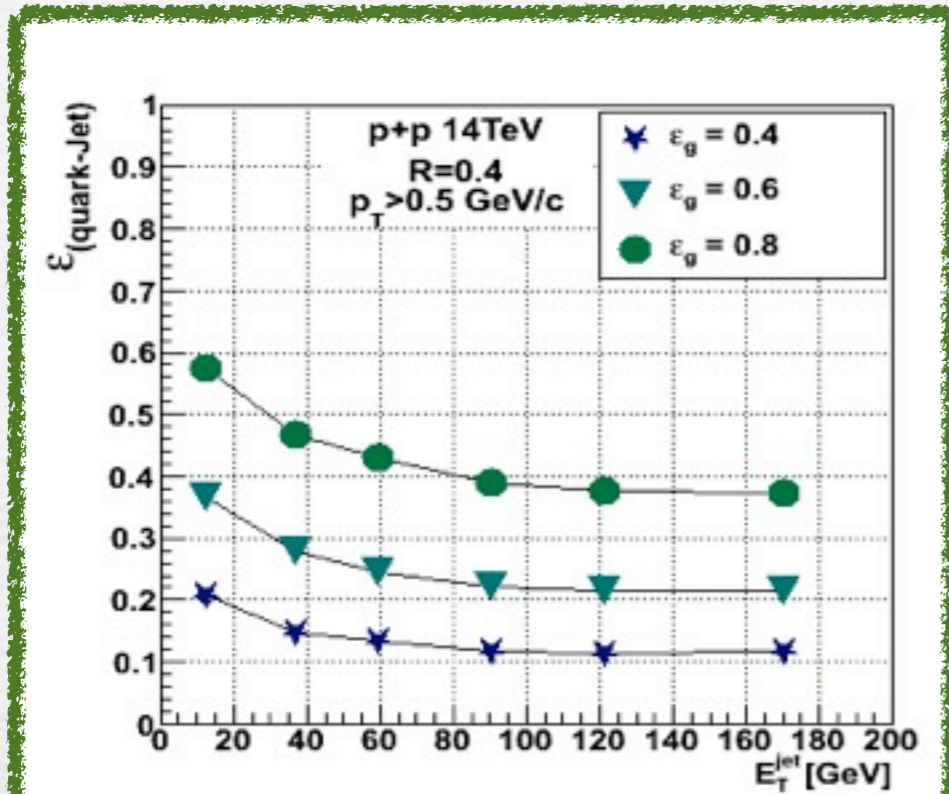
- A lot of particles from minijets & QGP
 - → Background for high energy jets
- BKG is increase as jet-radius parameter : R
- Particle p_T -cut for subtract BKG



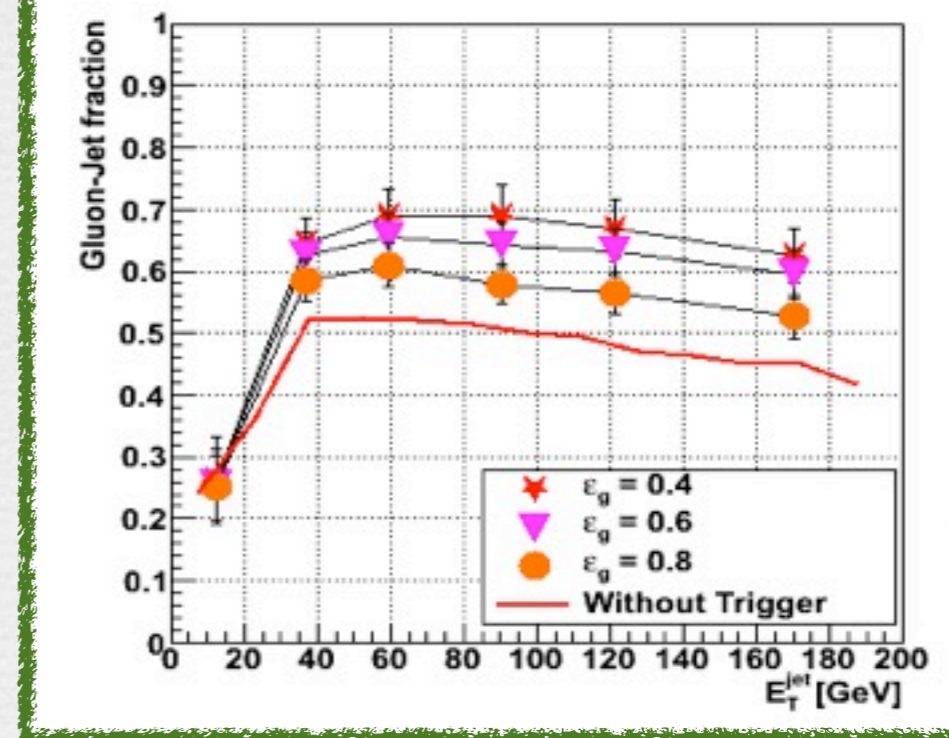
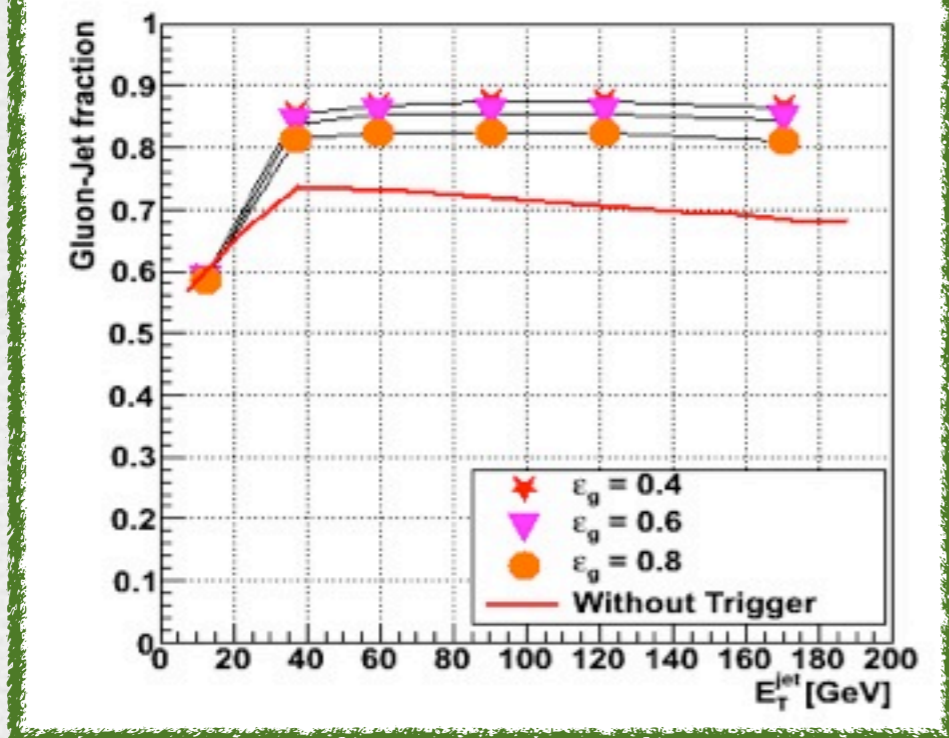
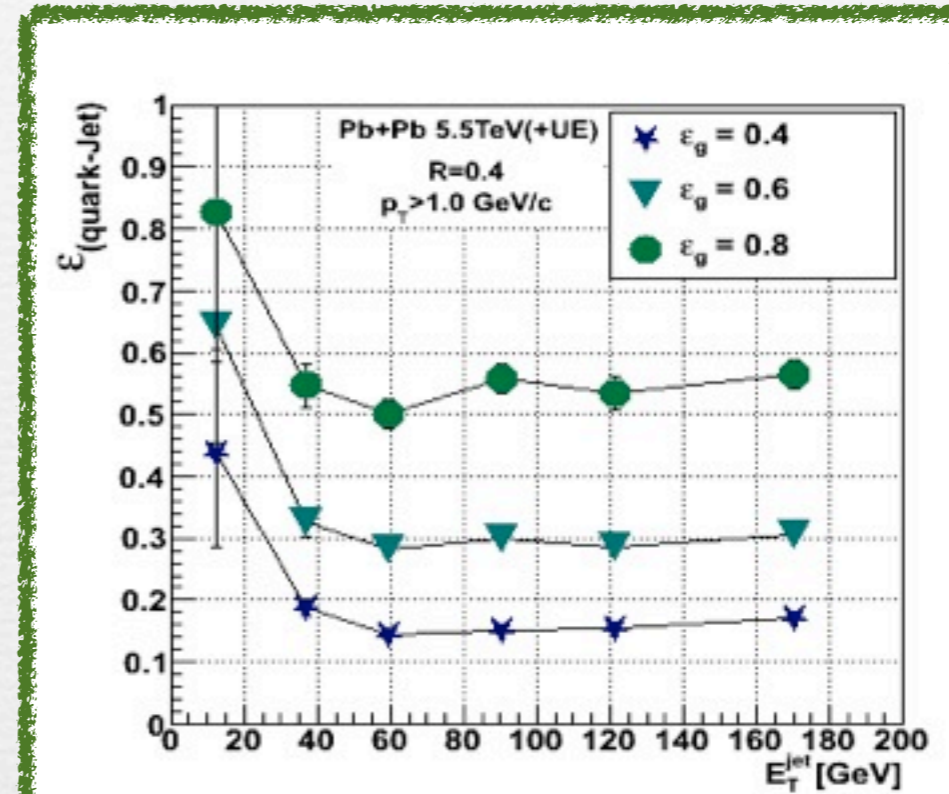
Separation of Quark/Gluon-Jets

Gluon-Jet Trigger

p+p $\sqrt{s}=14\text{TeV}$ (Pythia)



Pb+Pb $\sqrt{s_{NN}}=5.5\text{TeV}$ (qPythia+HIJING)



pTcut dependence

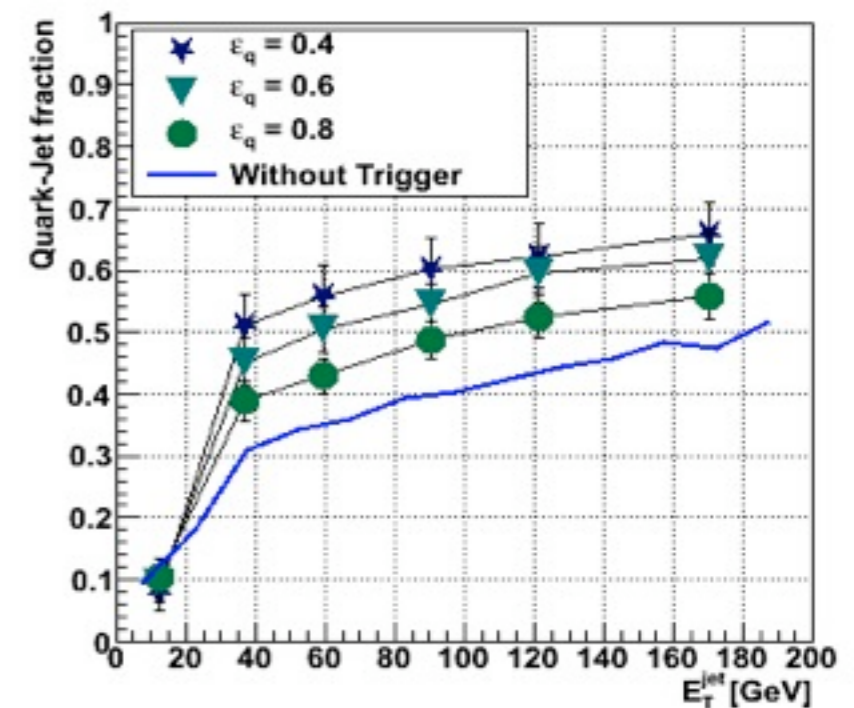
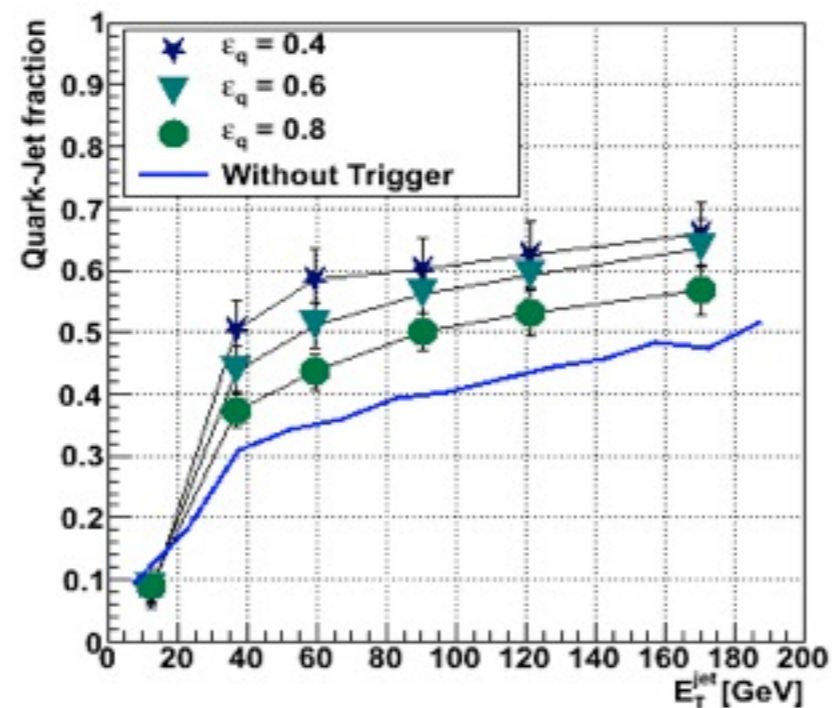
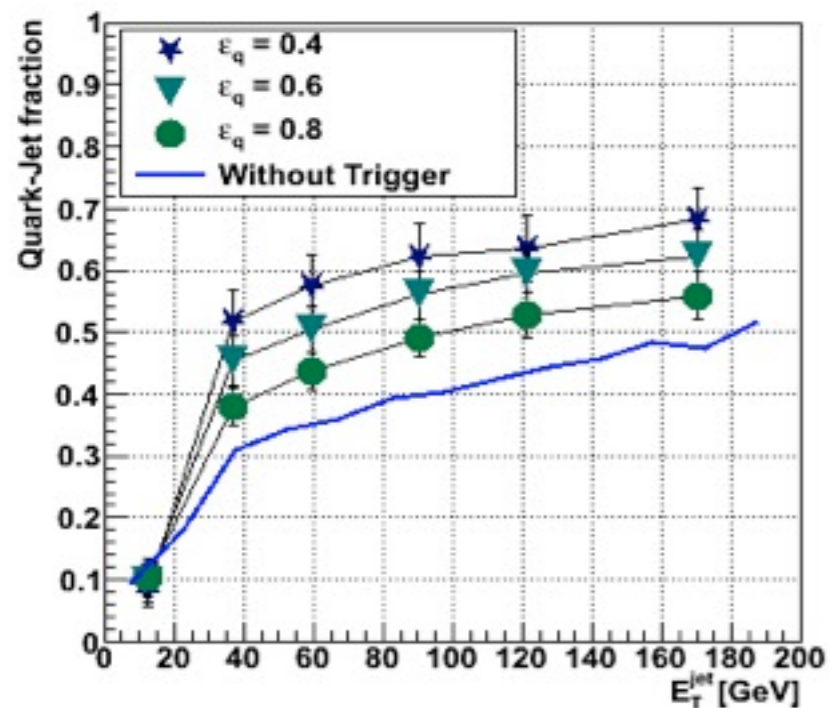
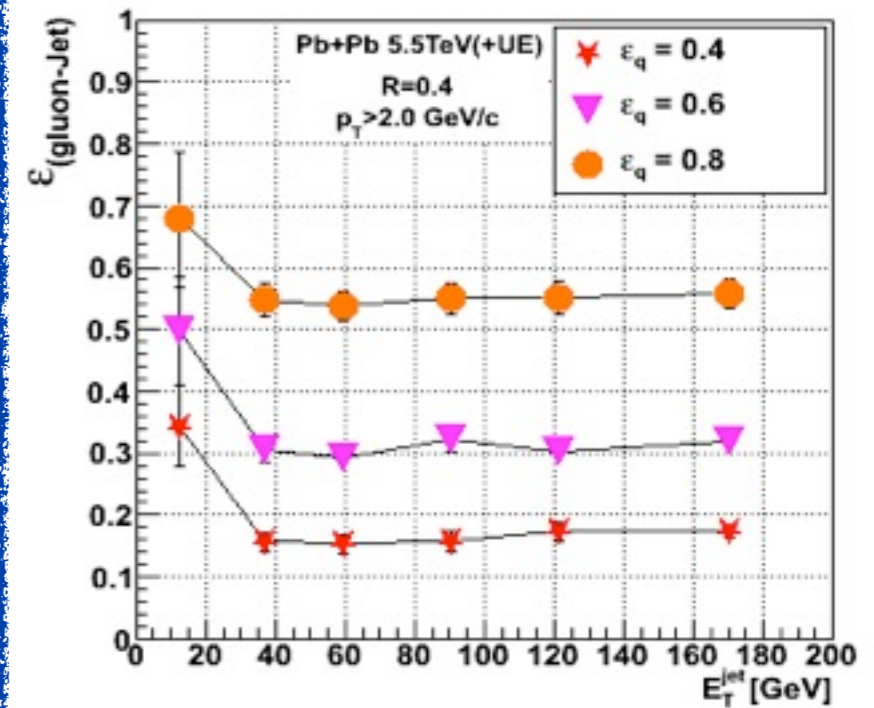
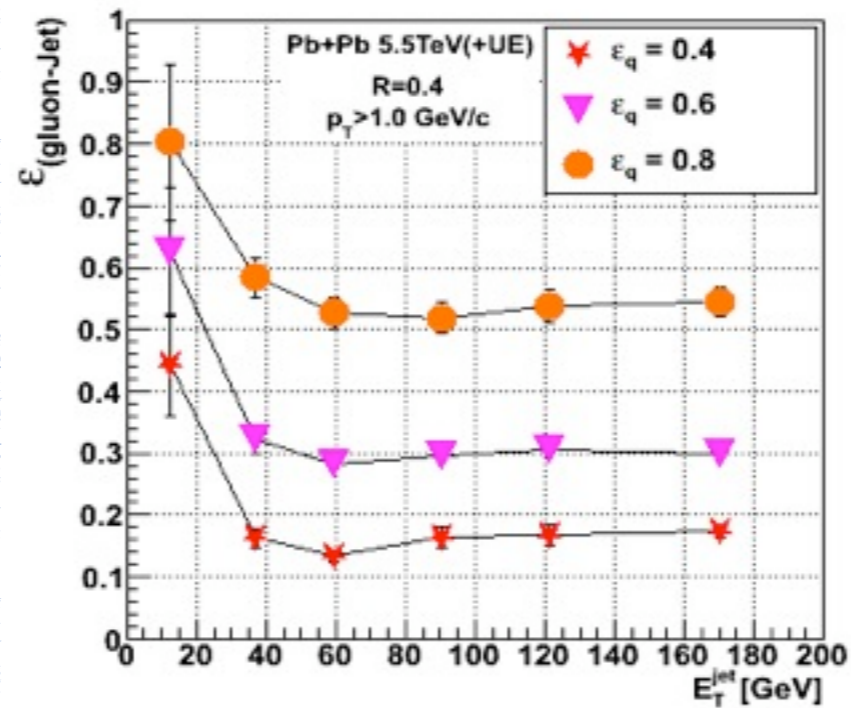
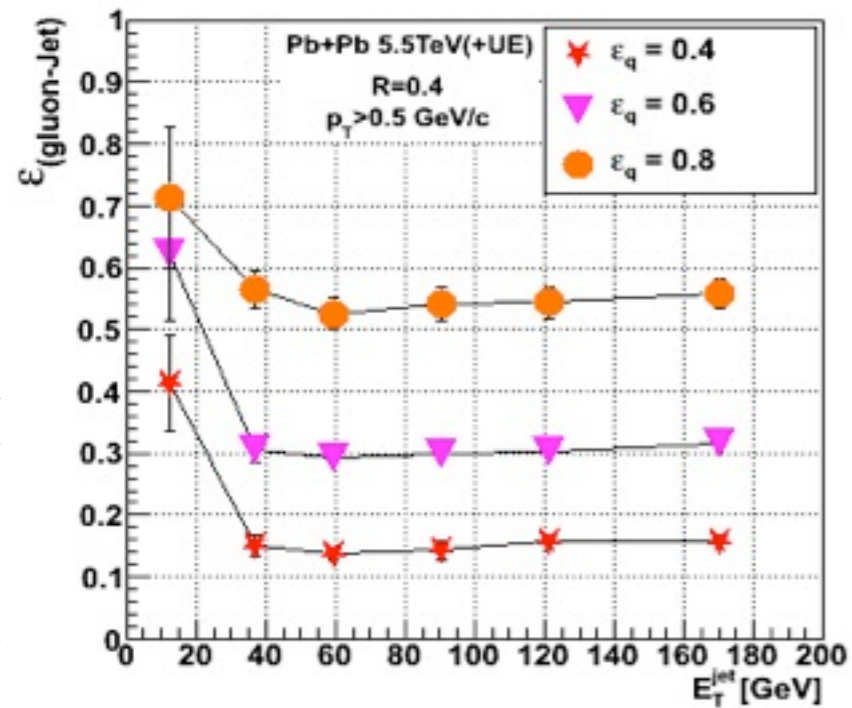
Quark-Jet Trigger

Pb+Pb $\sqrt{s_{NN}}=5.5\text{TeV}$
(qPythia+HIJING)

$p_T > 0.5\text{GeV}/c$

$p_T > 1.0\text{GeV}/c$

$p_T > 2.0\text{GeV}/c$



pTcut dependence

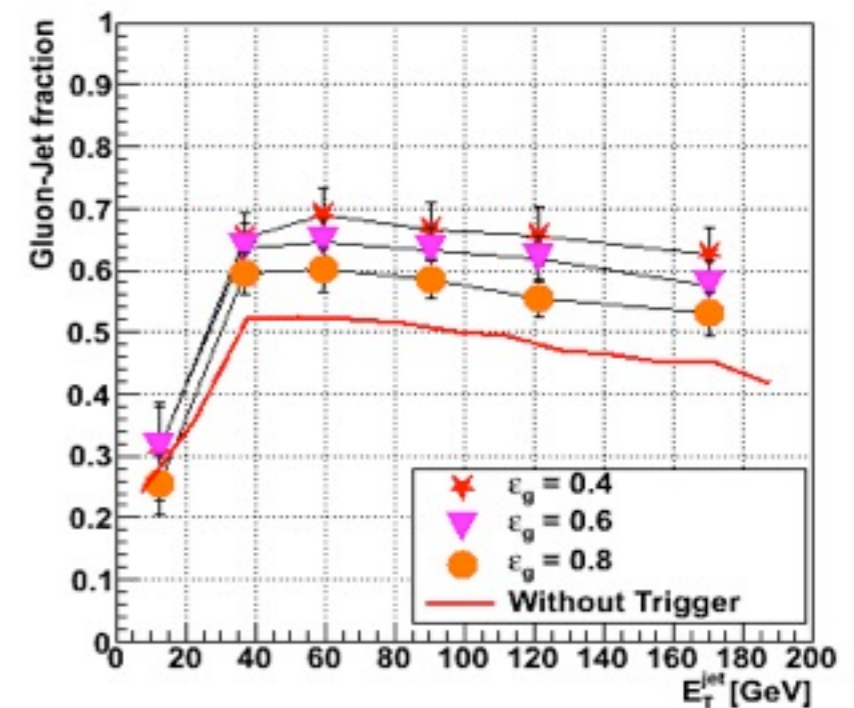
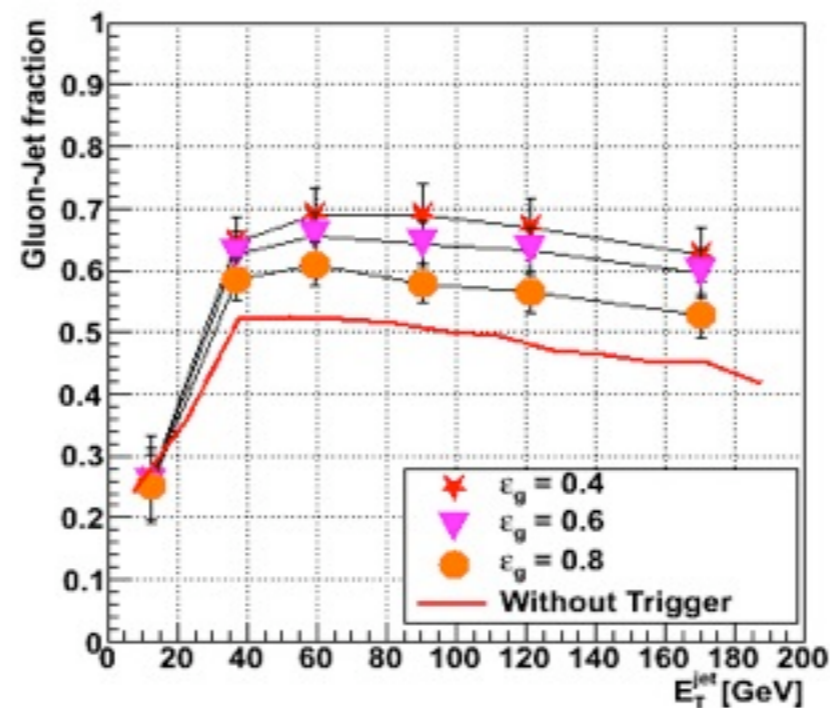
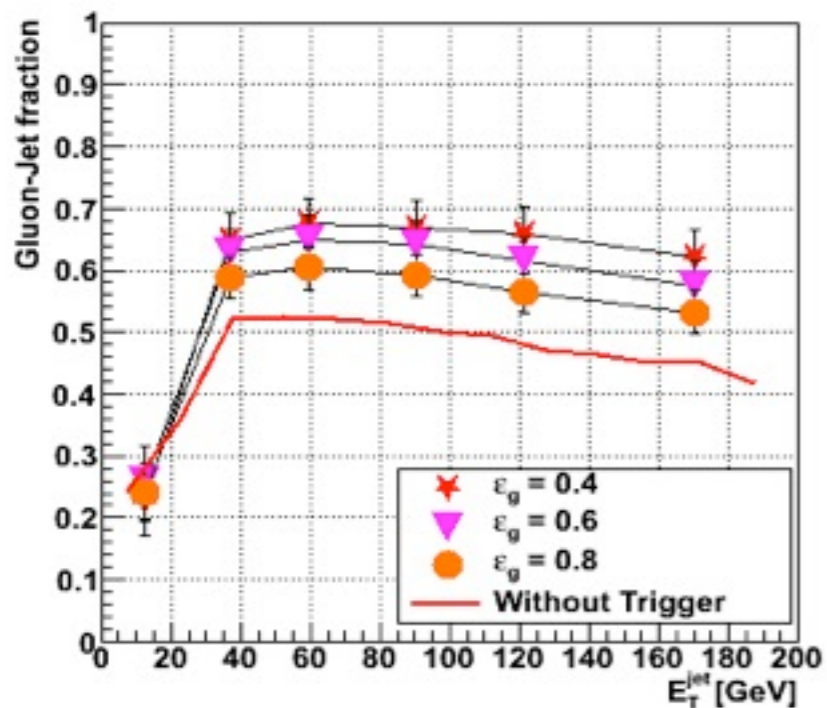
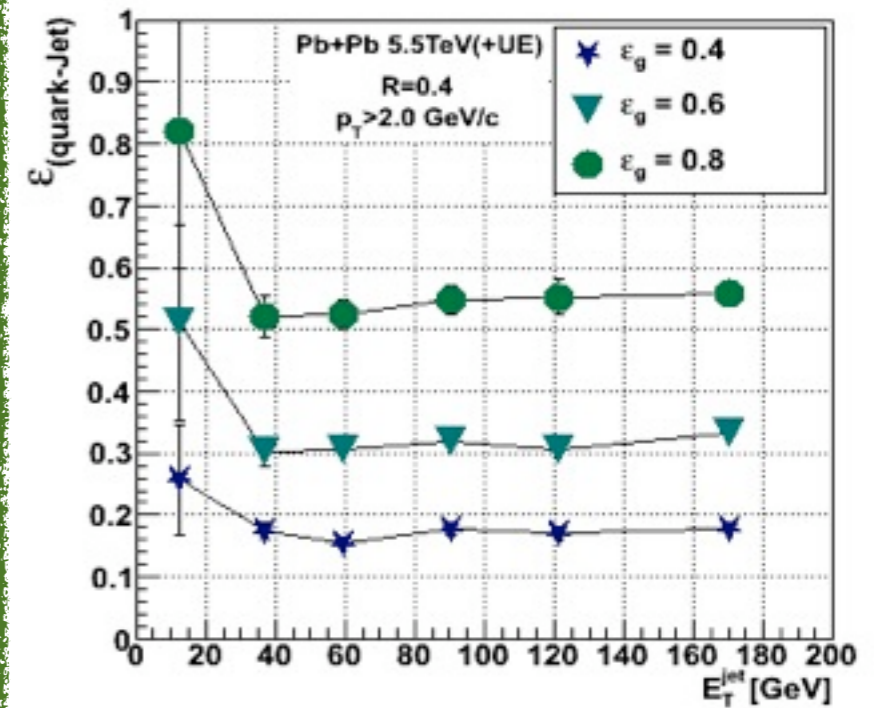
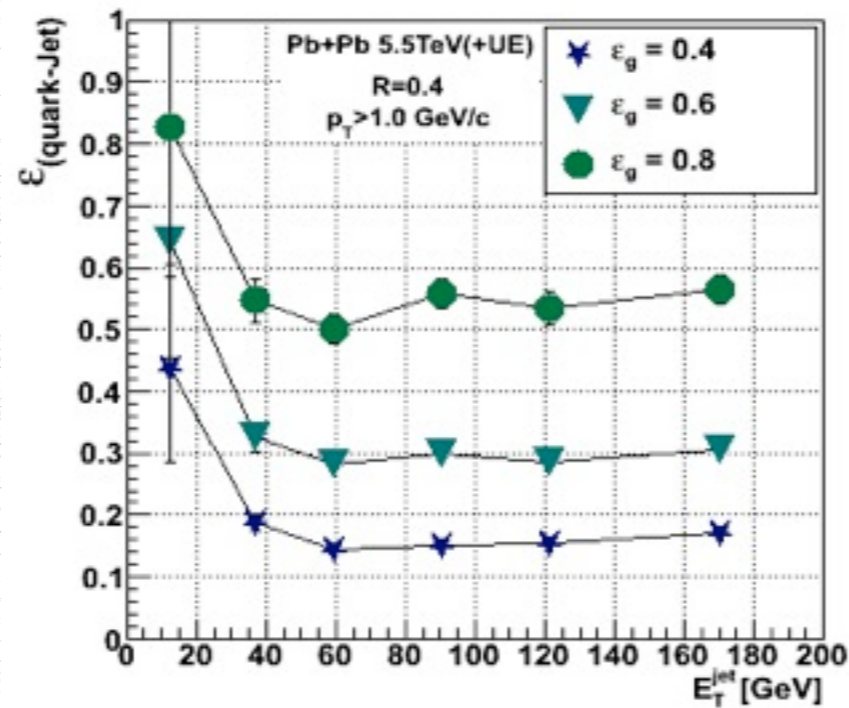
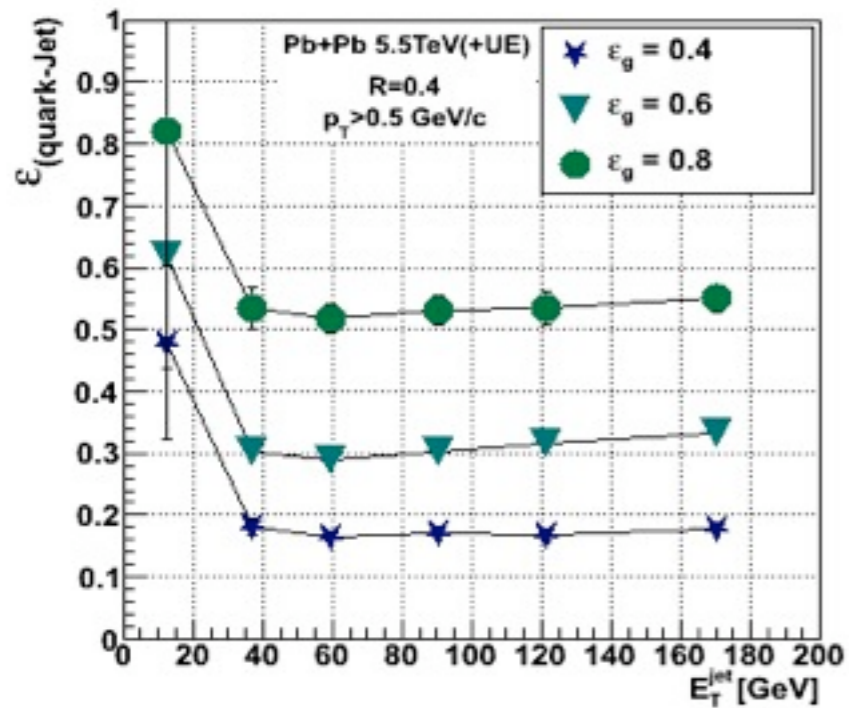
Gluon-Jet Trigger

Pb+Pb $\sqrt{s_{NN}}=5.5\text{TeV}$
(qPythia+HIJING)

$p_T > 0.5\text{GeV}/c$

$p_T > 1.0\text{GeV}/c$

$p_T > 2.0\text{GeV}/c$

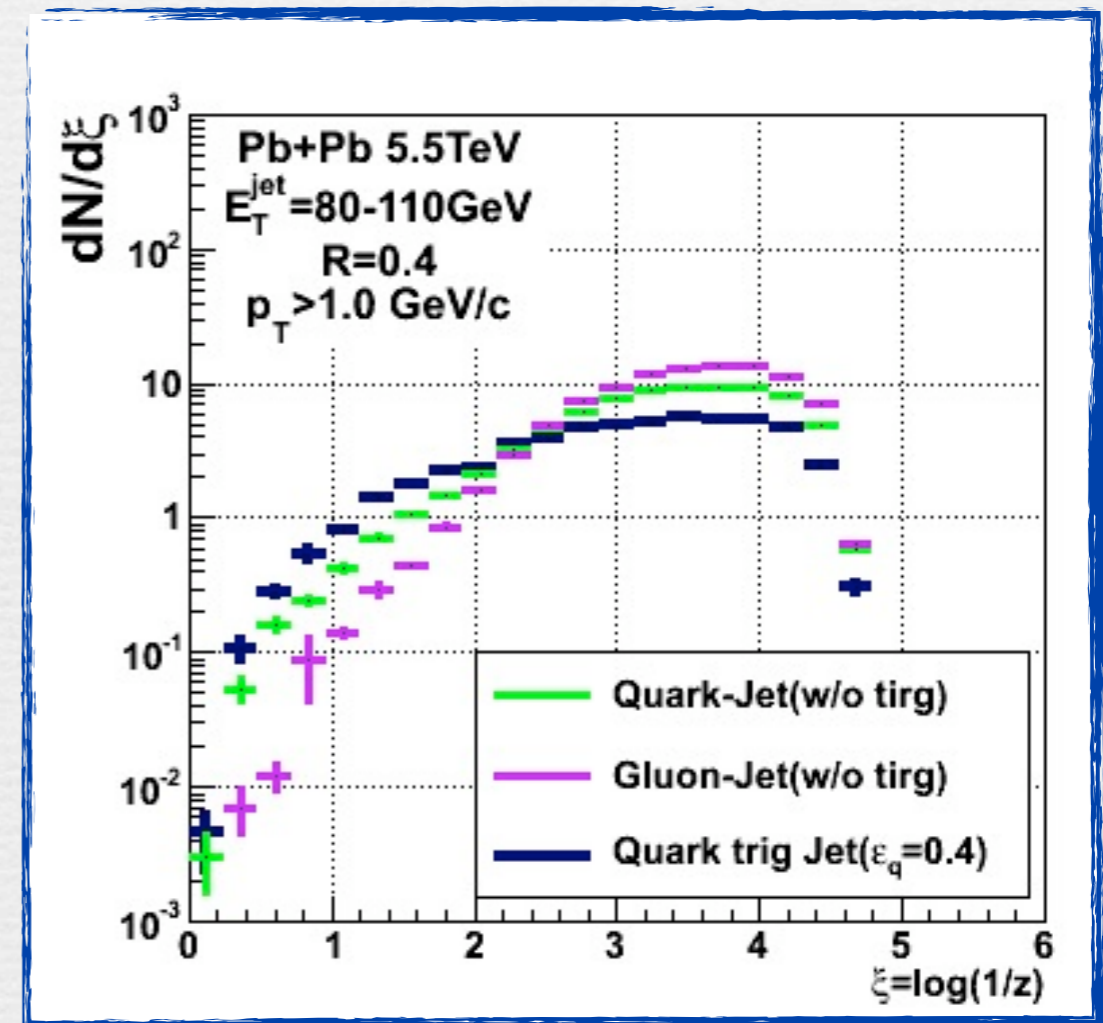
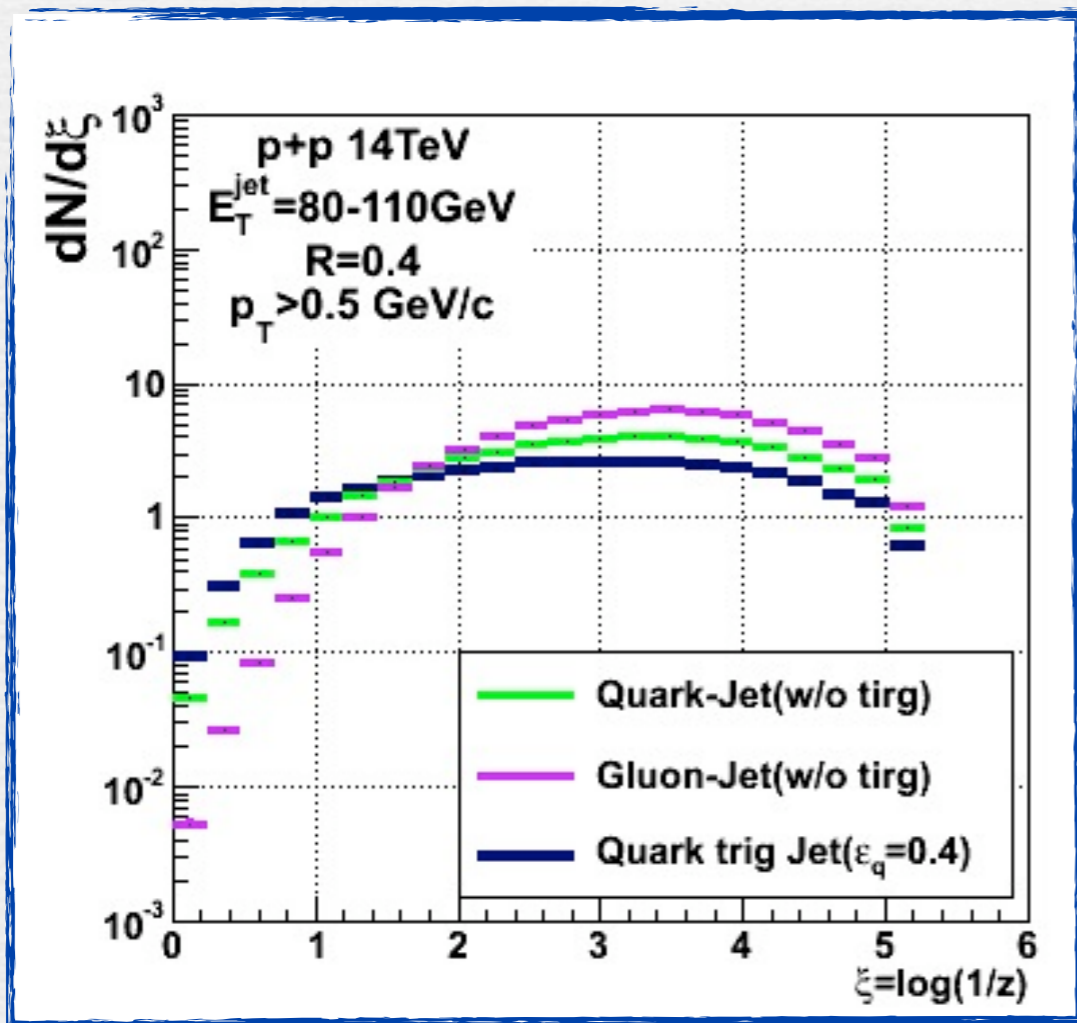


Fragmentation Function

Quark-Jet Trigger ($\epsilon_q=0.4$)

p+p $\sqrt{s}=14\text{TeV}$ (Pythia)

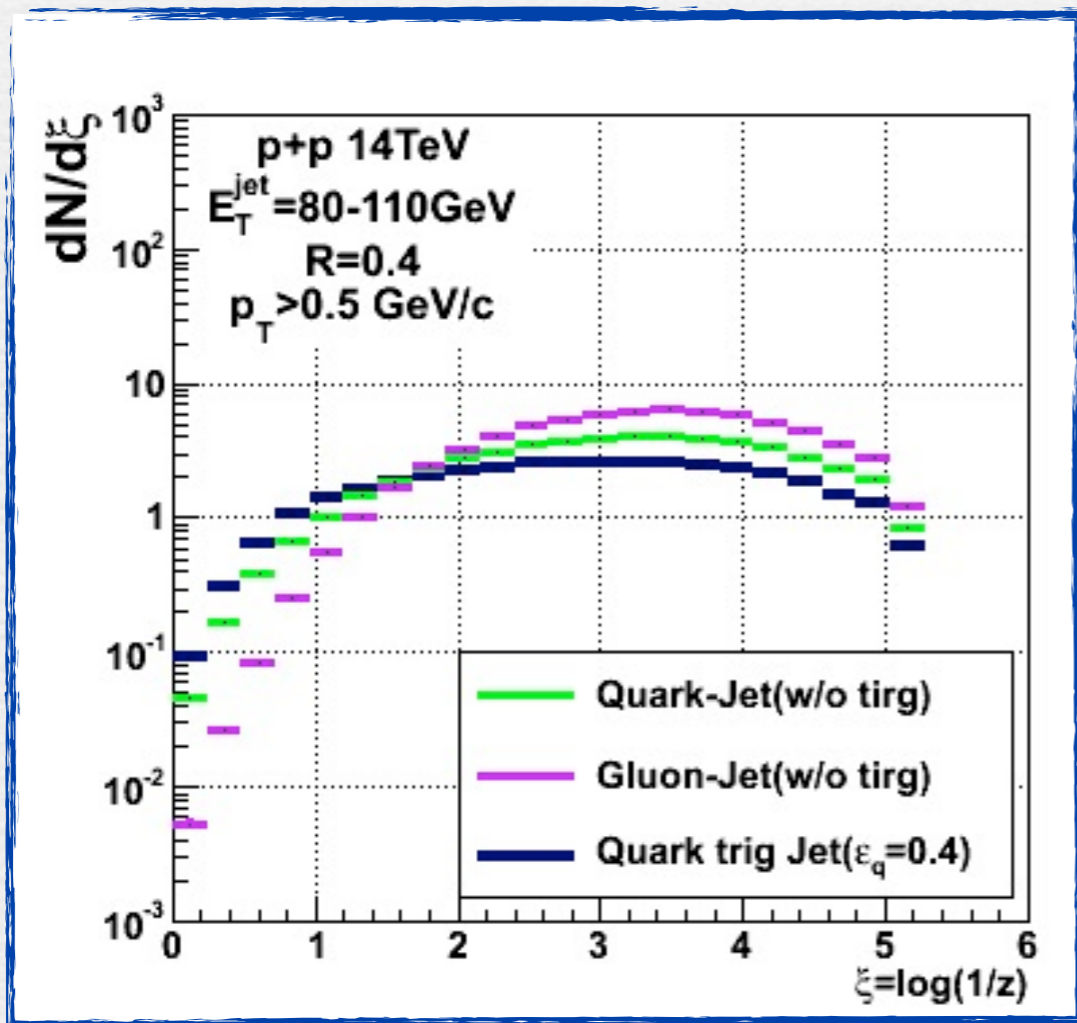
Pb+Pb $\sqrt{s_{NN}}=5.5\text{TeV}$ (qPythia+HIJING)



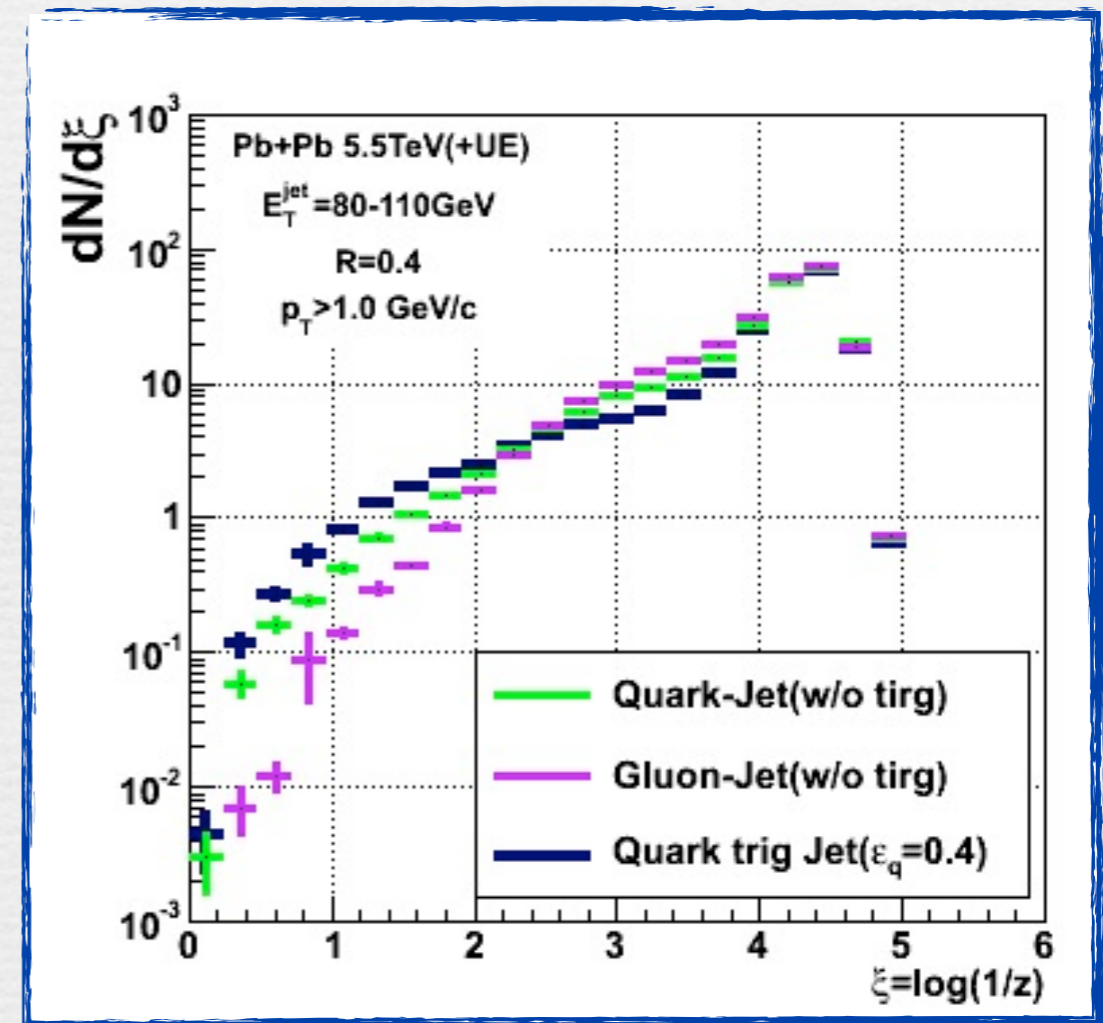
Fragmentation Function

Quark-Jet Trigger ($\epsilon_q=0.4$)

p+p $\sqrt{s}=14\text{TeV}$ (Pythia)



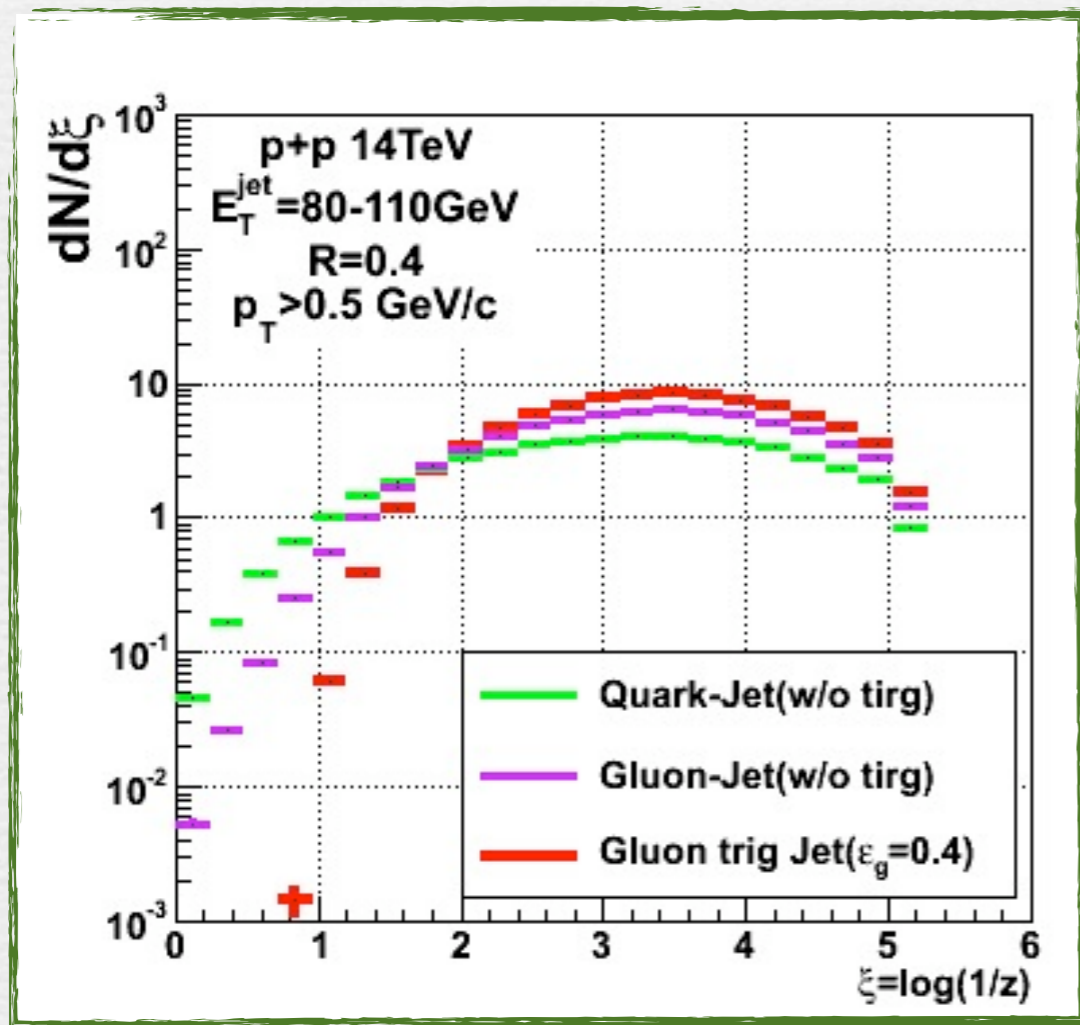
Pb+Pb $\sqrt{s_{NN}}=5.5\text{TeV}$ (qPythia+HIJING)



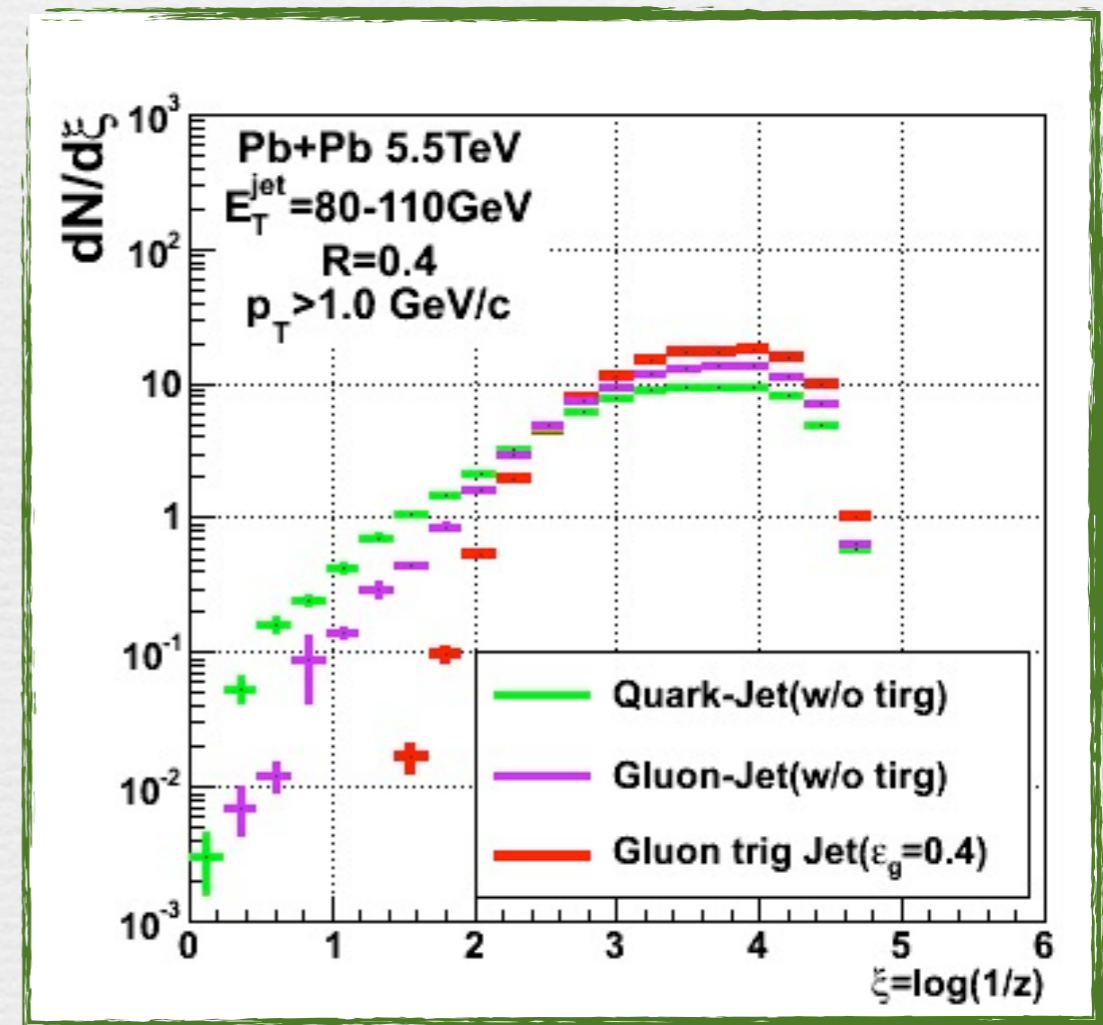
Fragmentation Function

Gluon-Jet Trigger ($\epsilon_g=0.4$)

p+p $\sqrt{s}=14\text{TeV}$ (Pythia)



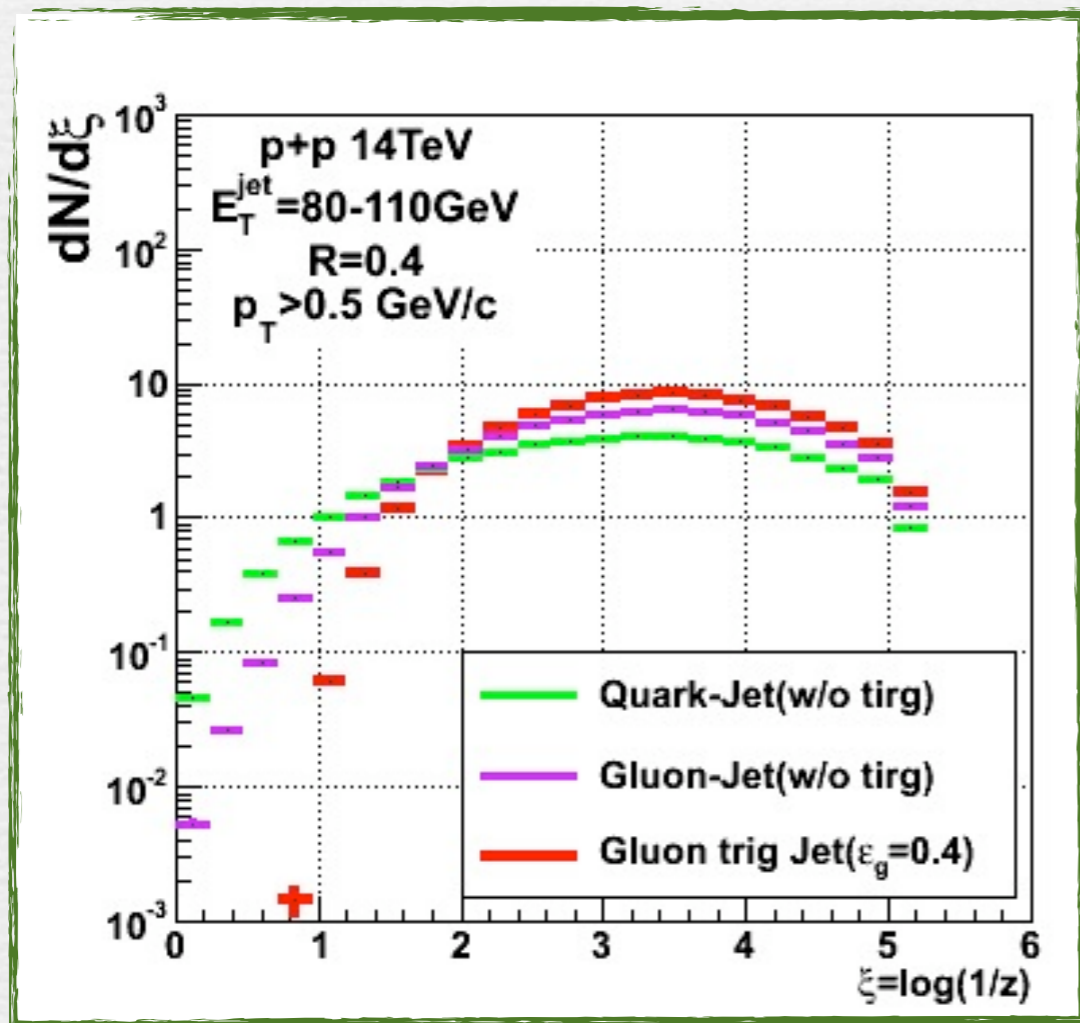
Pb+Pb $\sqrt{s_{NN}}=5.5\text{TeV}$ (qPythia+HIJING)



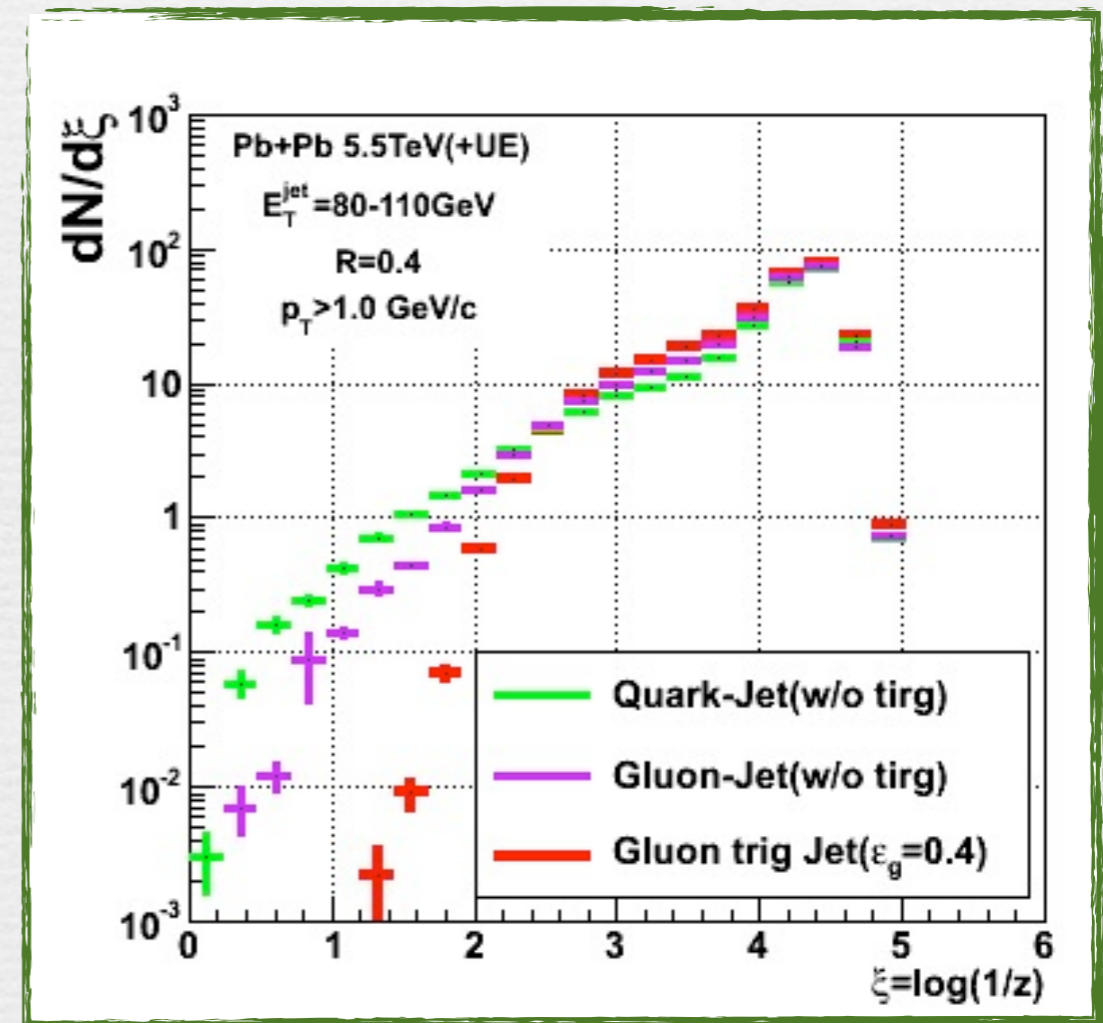
Fragmentation Function

Gluon-Jet Trigger ($\epsilon_g=0.4$)

p+p $\sqrt{s}=14\text{TeV}$ (Pythia)

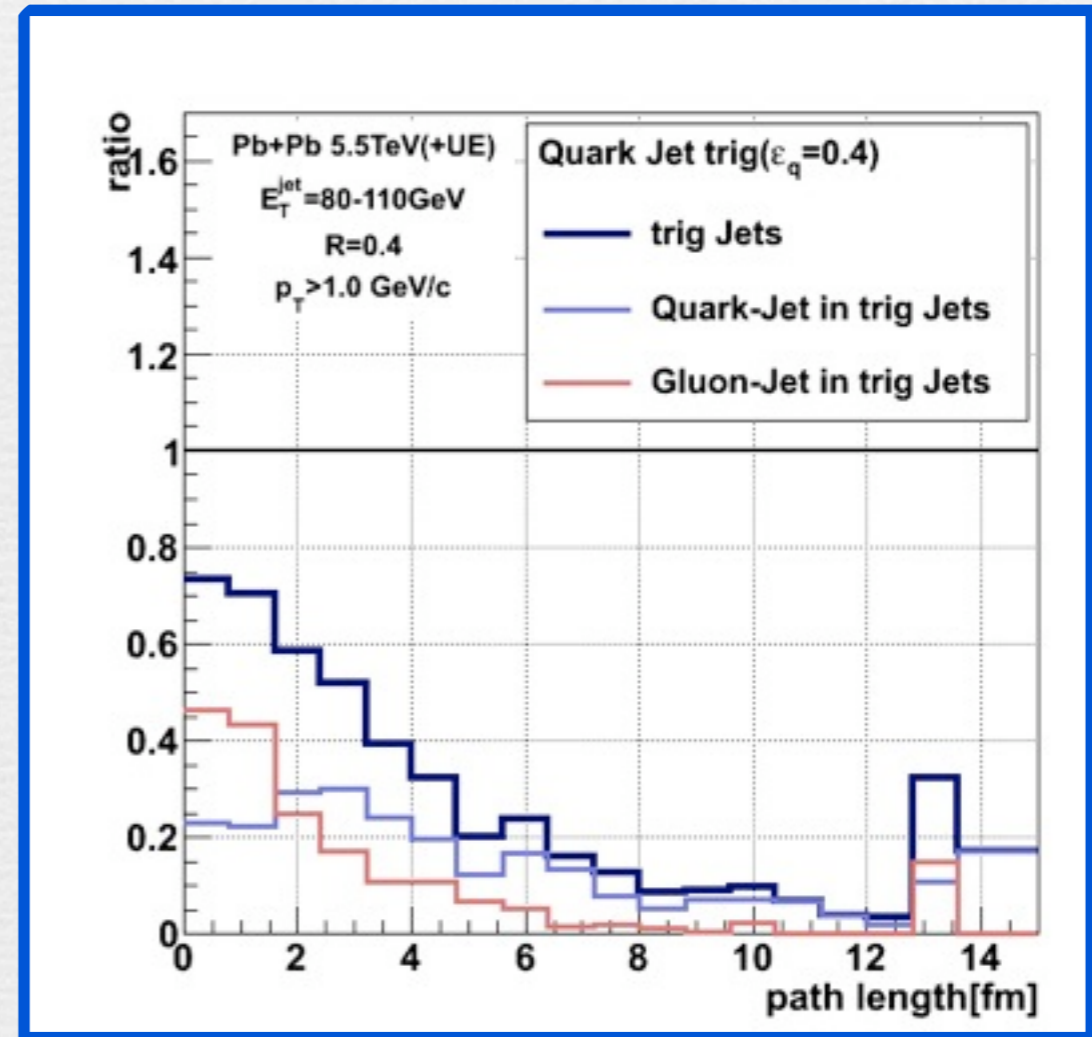
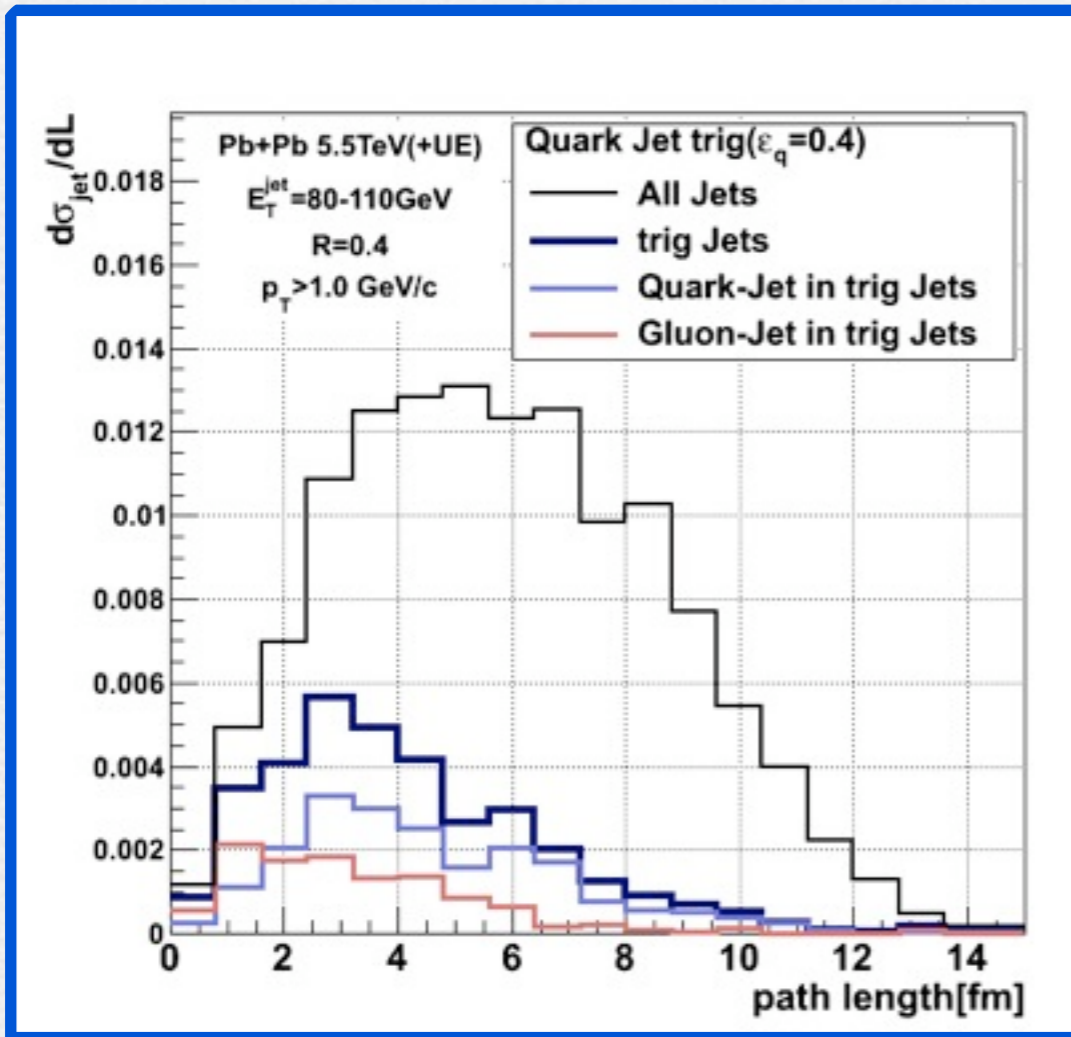
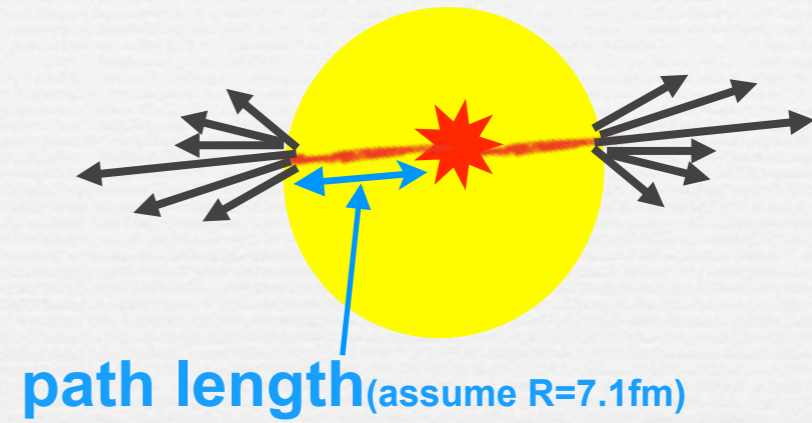


Pb+Pb $\sqrt{s_{NN}}=5.5\text{TeV}$ (qPythia+HIJING)



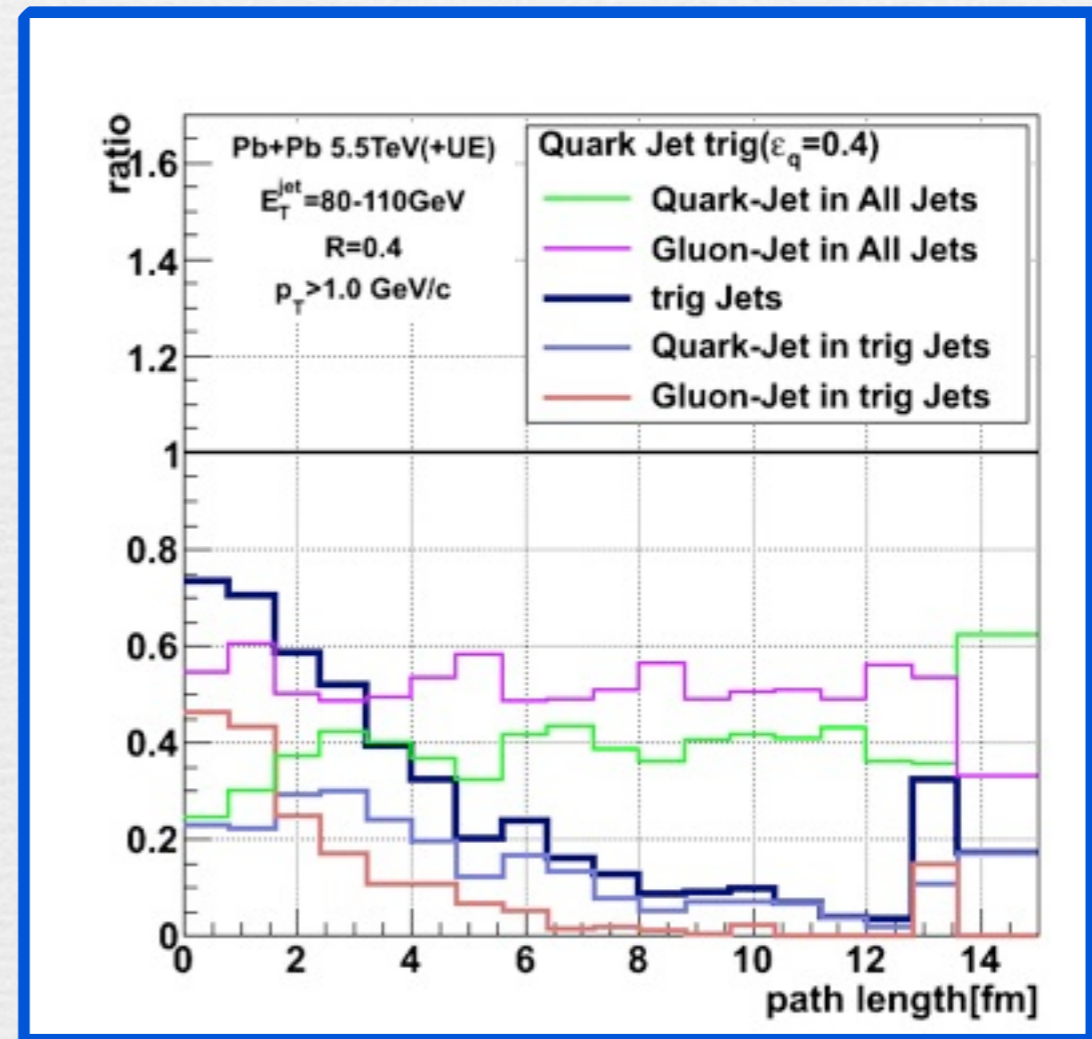
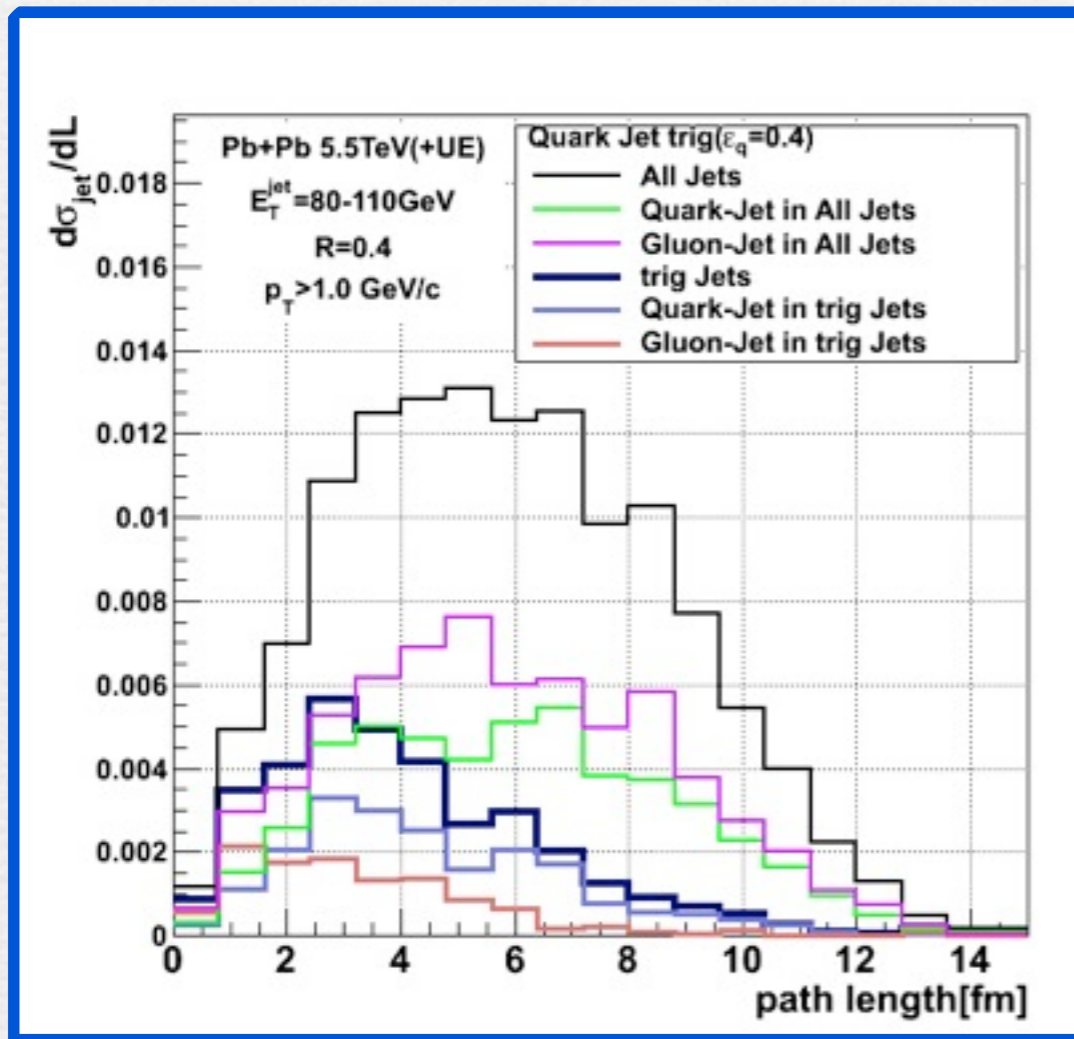
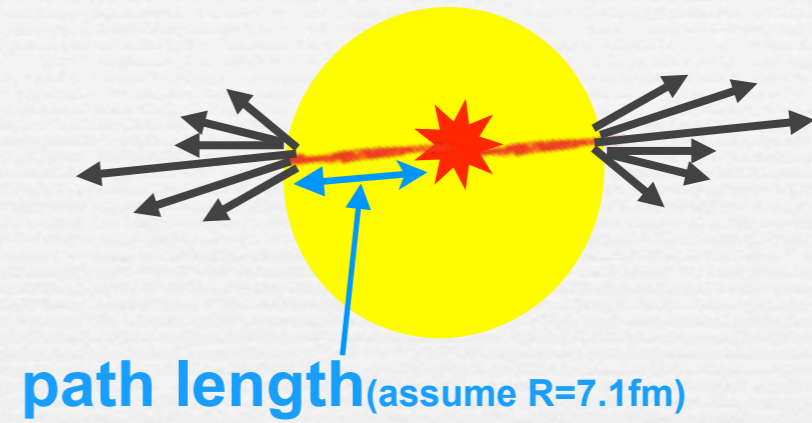
Surface Bias

Quark-Jet Trigger ($\epsilon_q=0.4$)



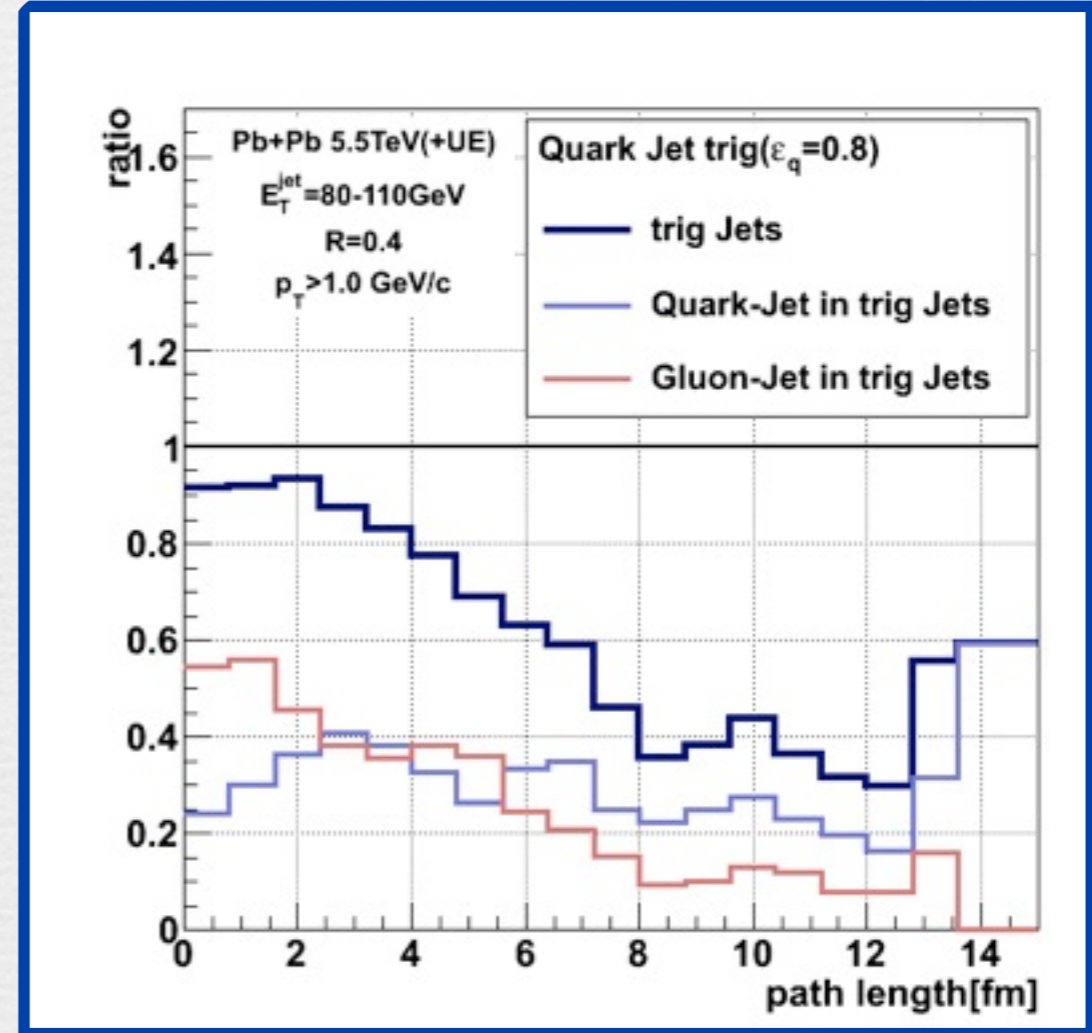
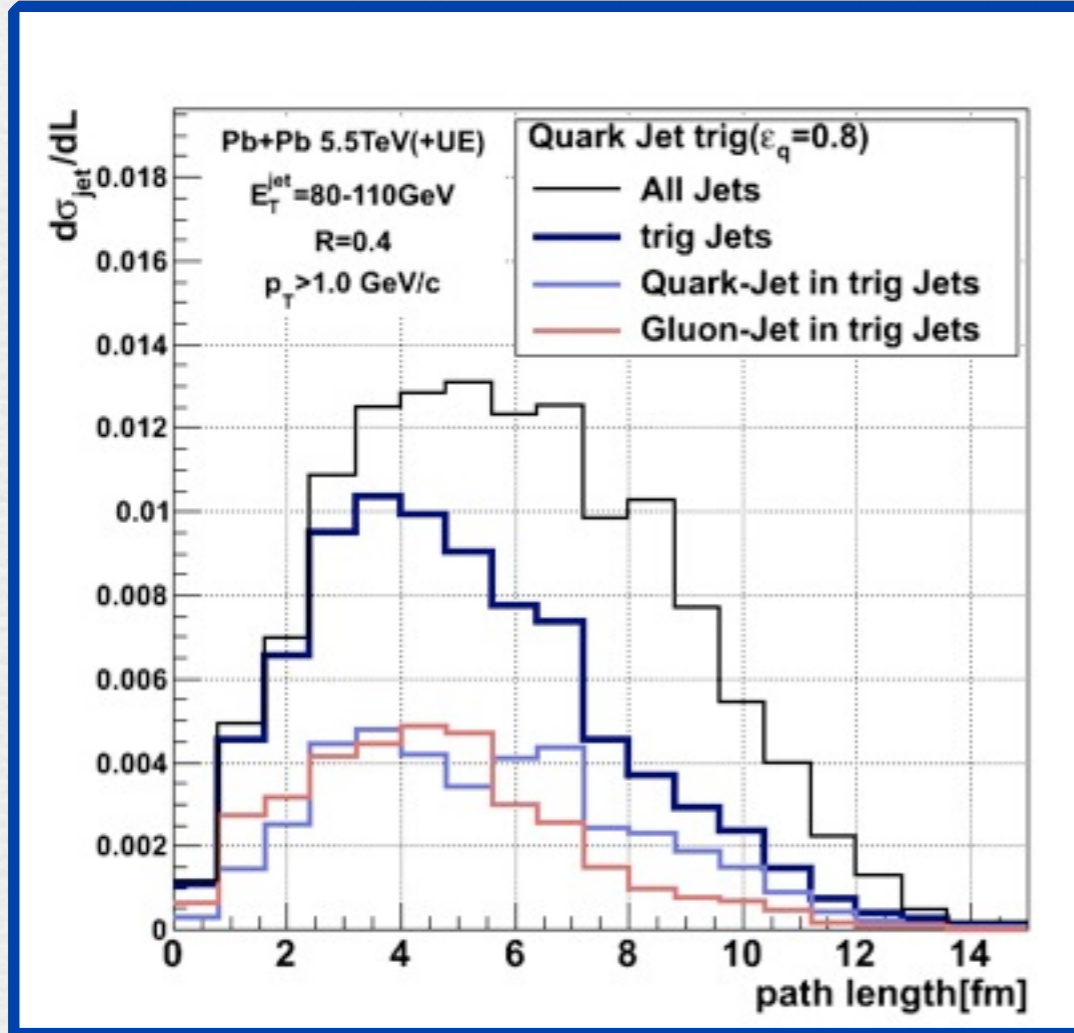
Surface Bias

Quark-Jet Trigger ($\epsilon_q=0.4$)



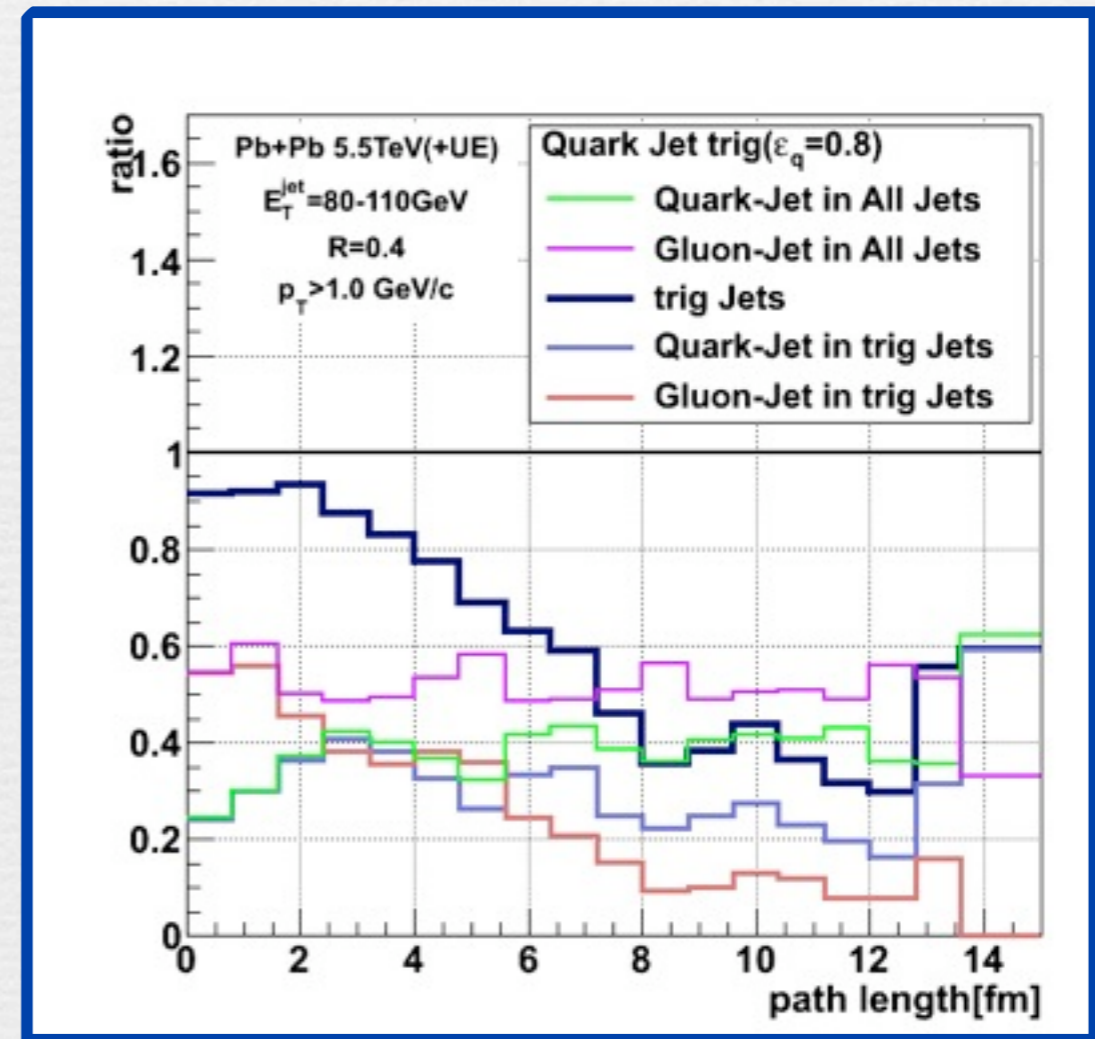
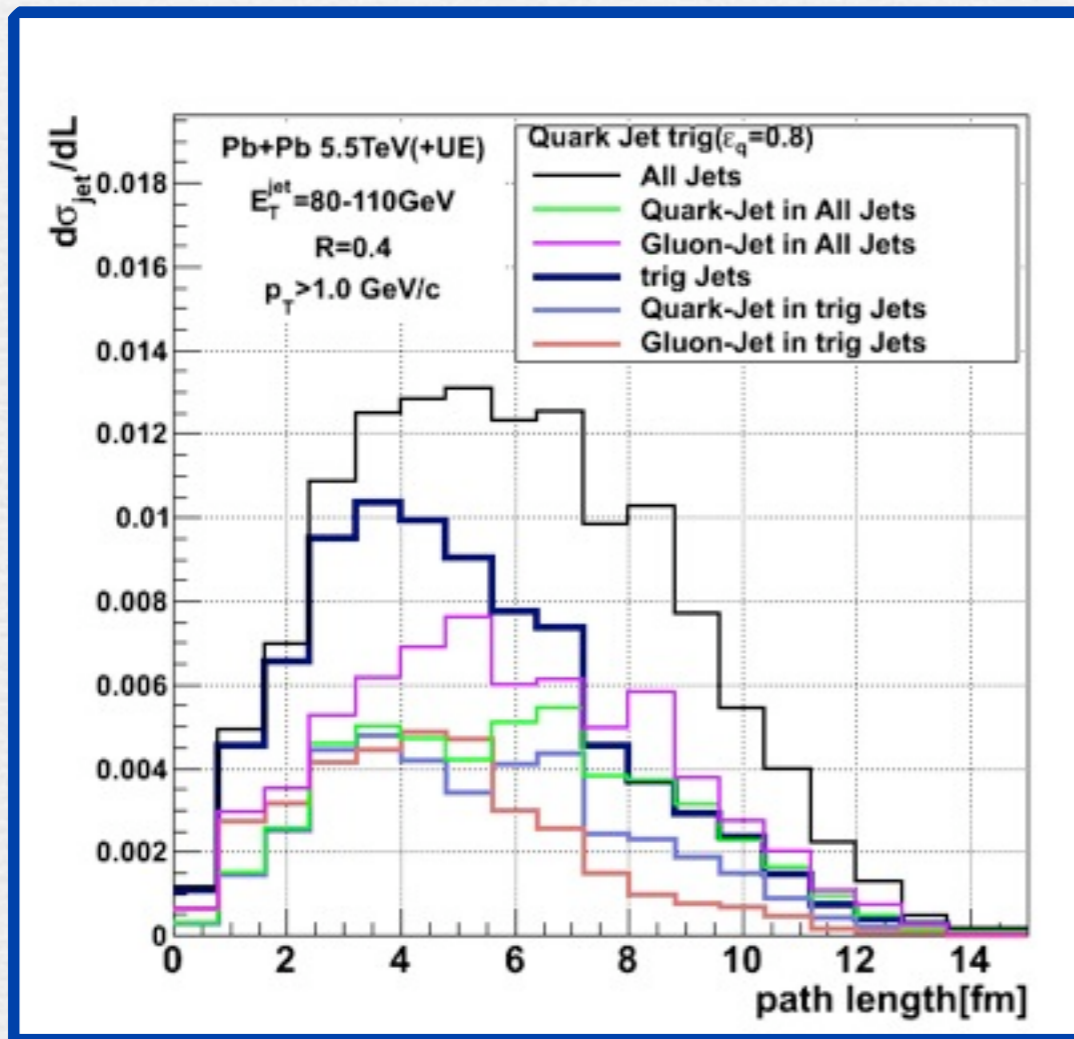
Surface Bias

Quark-Jet Trigger ($\epsilon_q=0.8$)



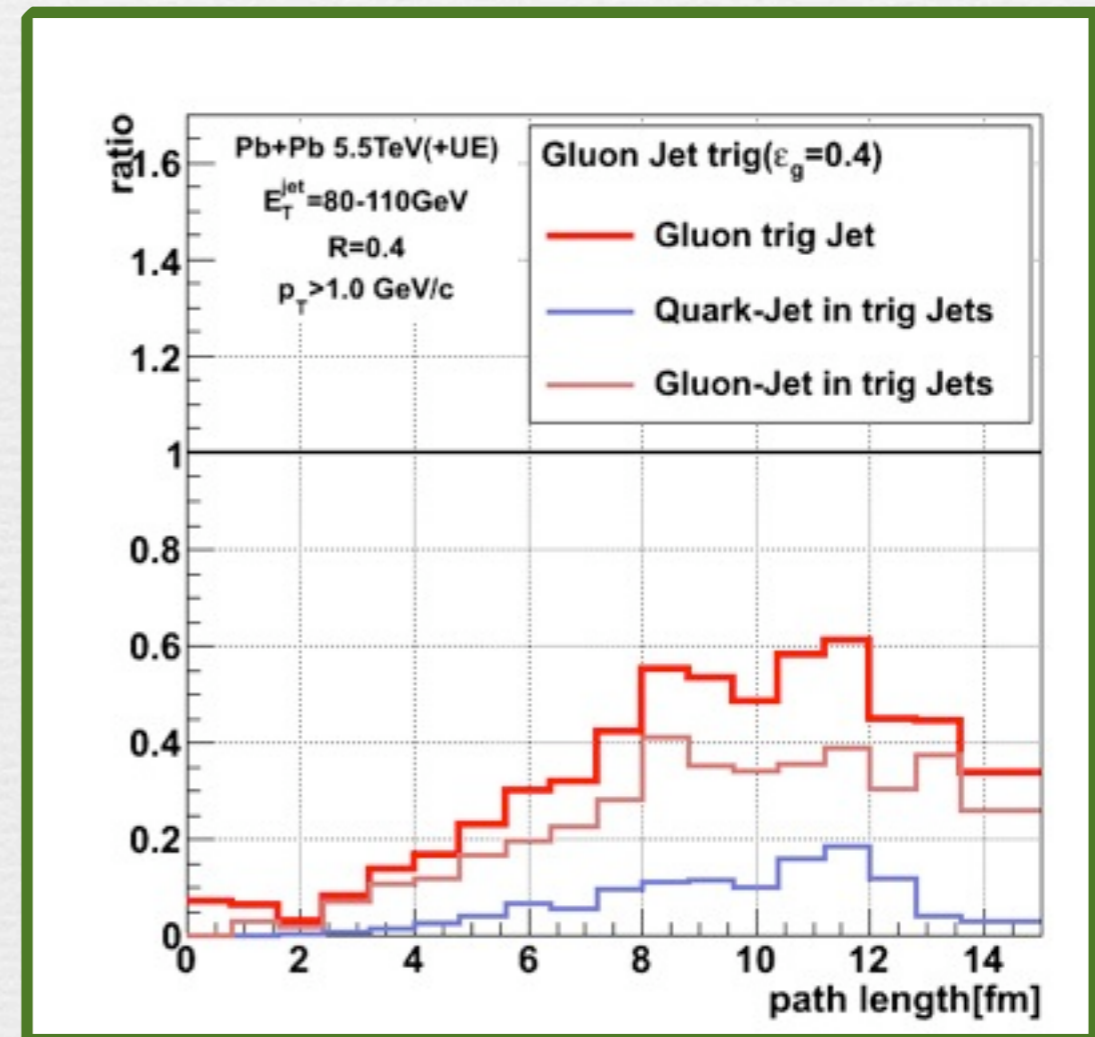
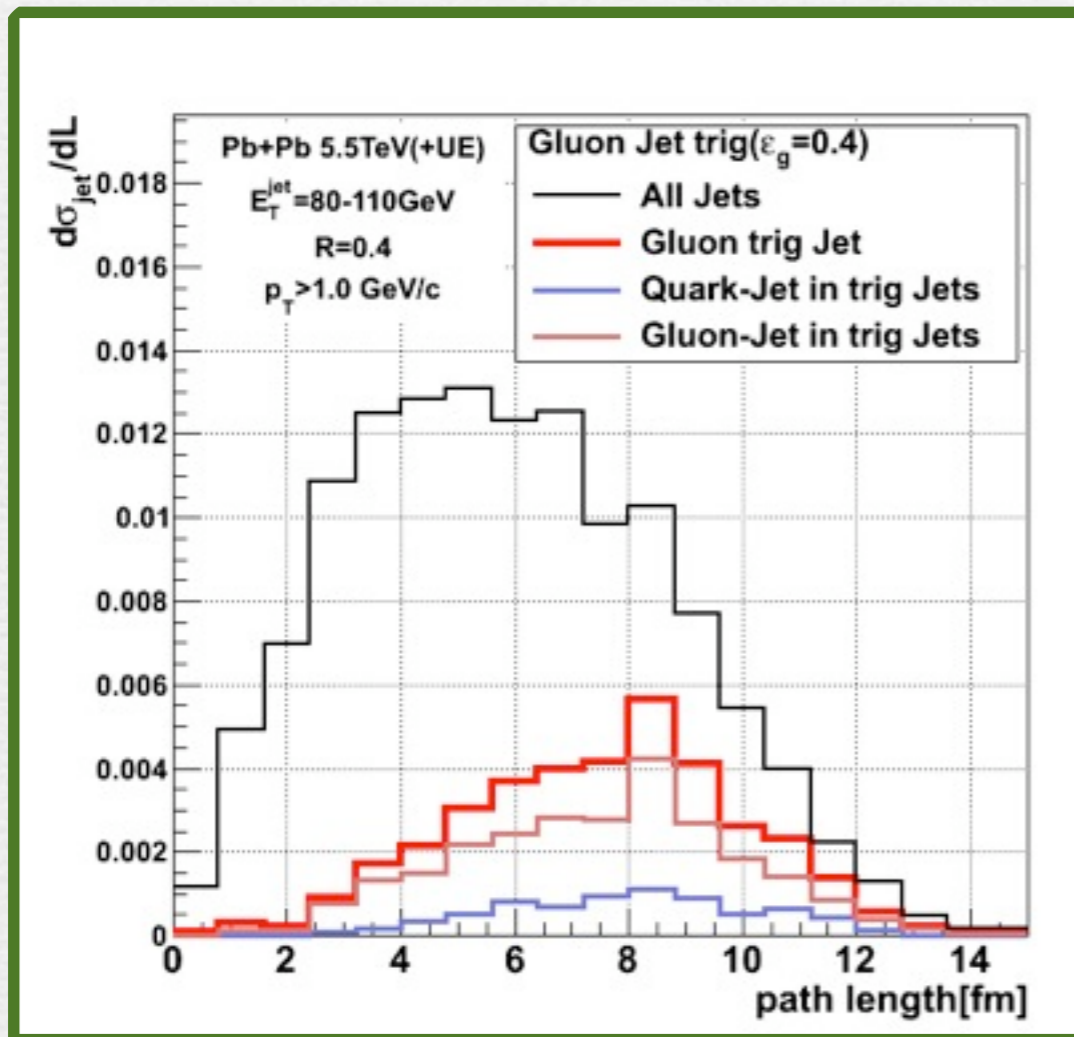
Surface Bias

Quark-Jet Trigger ($\epsilon_q=0.8$)



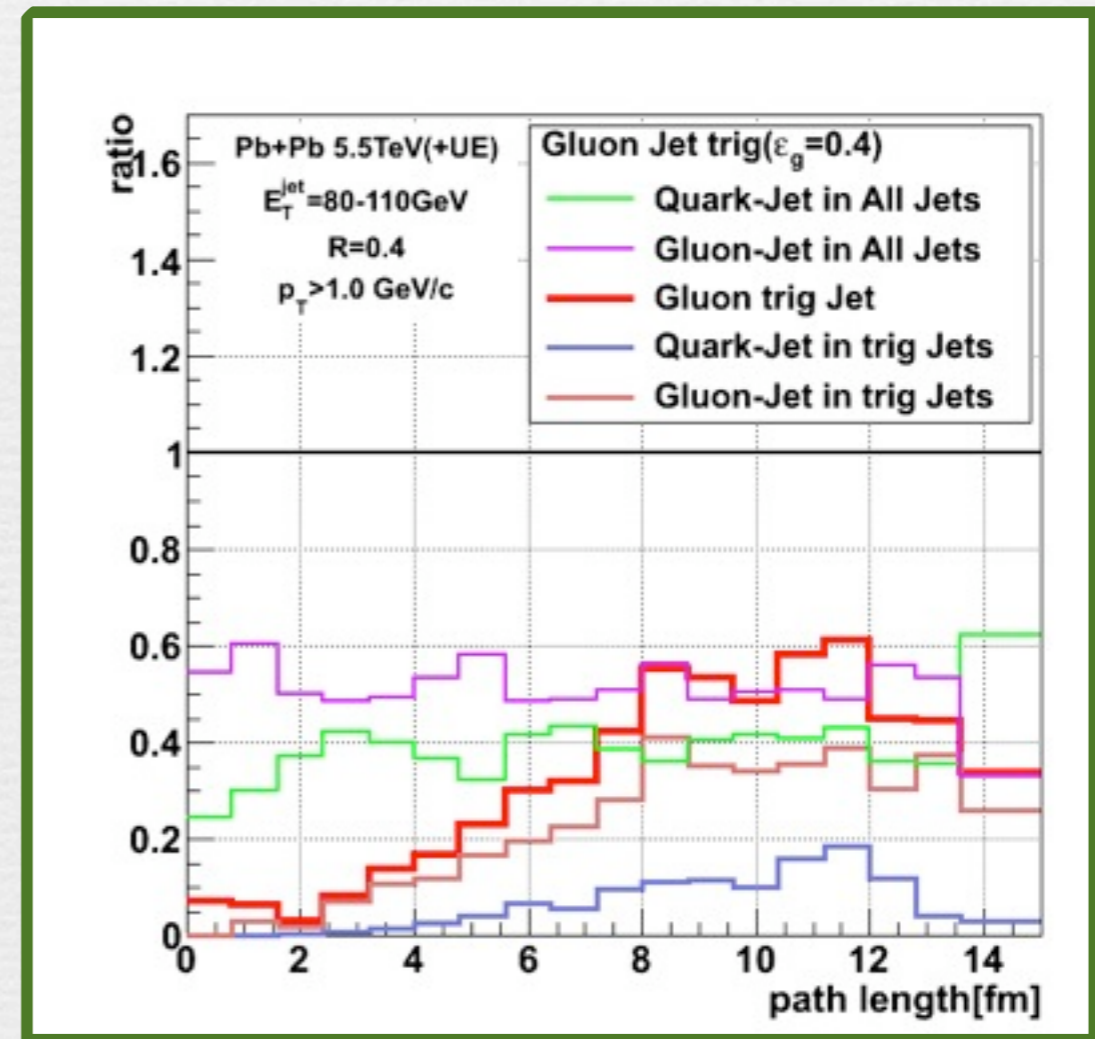
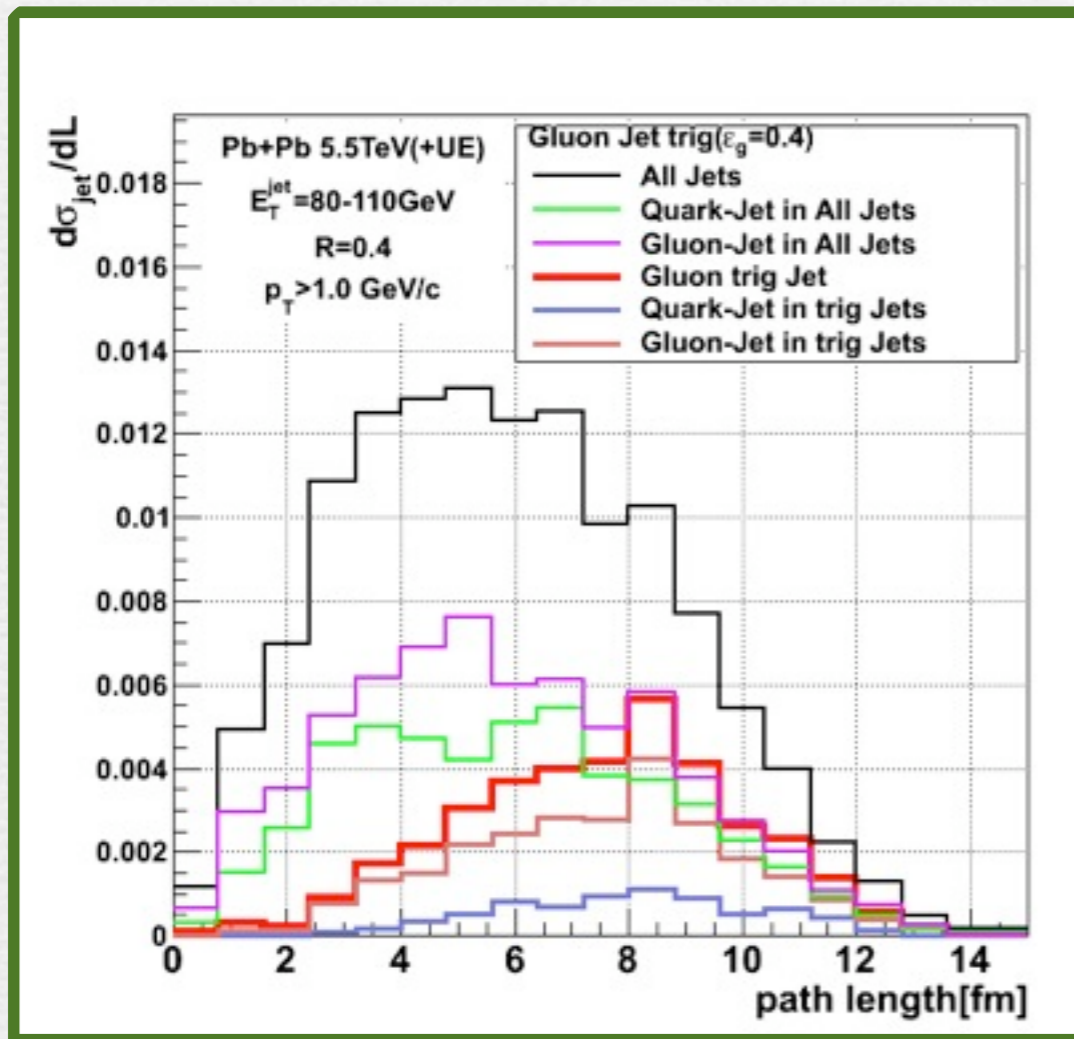
Surface Bias

Gluon-Jet Trigger ($\epsilon_g=0.4$)



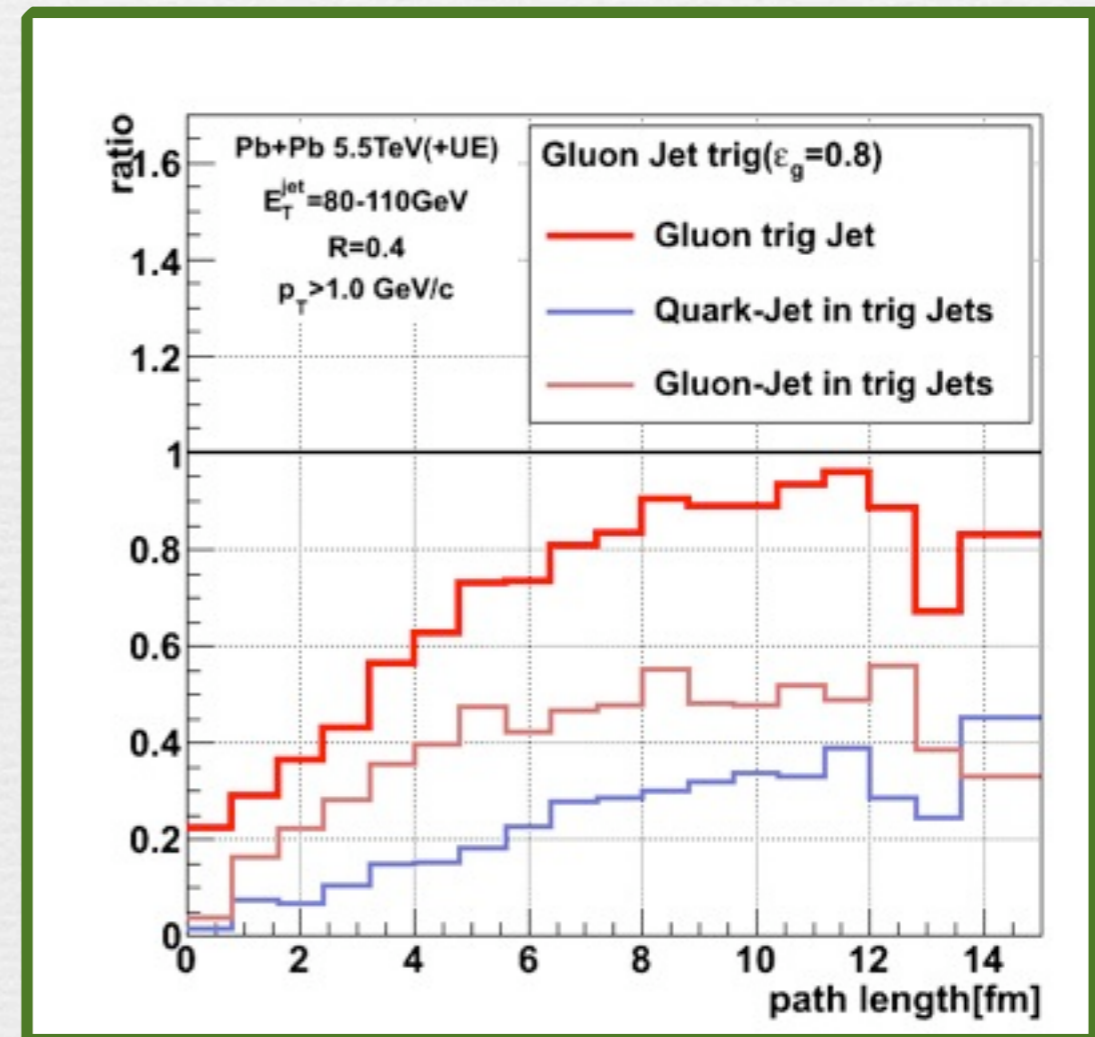
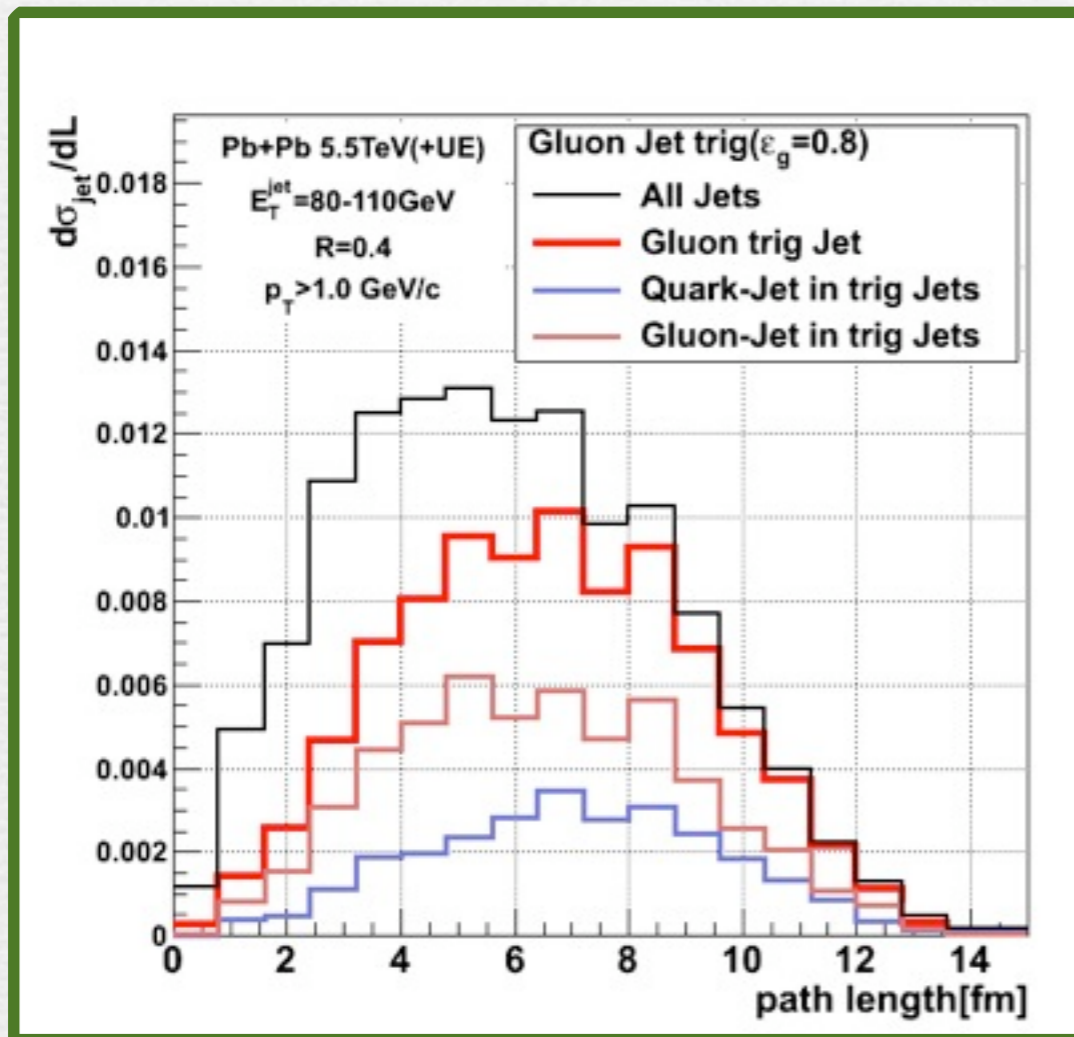
Surface Bias

Gluon-Jet Trigger ($\epsilon_g=0.4$)



Surface Bias

Gluon-Jet Trigger ($\epsilon_g=0.8$)



Surface Bias

Gluon-Jet Trigger ($\epsilon_g=0.8$)

